

(12) NACH DEM VERTRAG ÜBER DIE INTERNATIONALE ZUSAMMENARBEIT AUF DEM GEBIET DES
PATENTWESENS (PCT) VERÖFFENTLICHTE INTERNATIONALE ANMELDUNG

(19) Weltorganisation für geistiges Eigentum
Internationales Büro



(43) Internationales Veröffentlichungsdatum
10. Februar 2005 (10.02.2005)

PCT

(10) Internationale Veröffentlichungsnummer
WO 2005/011547 A1

(51) Internationale Patentklassifikation⁷: **A61F 9/01**

(21) Internationales Aktenzeichen: PCT/EP2004/008279

(22) Internationales Anmeldedatum:
23. Juli 2004 (23.07.2004)

(25) Einreichungssprache: Deutsch

(26) Veröffentlichungssprache: Deutsch

(30) Angaben zur Priorität:
103 34 110.2 25. Juli 2003 (25.07.2003) DE

(71) Anmelder (für alle Bestimmungsstaaten mit Ausnahme
von US): **CARL ZEISS MEDITEC AG** [DE/DE];
Göschwitzer Strasse 51-52, 07745 Jena (DE).

(72) Erfinder; und

(75) Erfinder/Anmelder (nur für US): **MÜHLHOFF, Dirk**
[DE/DE]; Am Mönchenberge 2, 07751 Kunitz (DE).
GERLACH, Mario [DE/DE]; Schirnewitz 42, 07768 Al-
tenberga (DE). **STICKER, Markus** [DE/DE]; Jahnstrasse
21, 07743 Jena (DE). **LANG, Carsten** [DE/DE]; Mittel-
strasse 8, 07586 Bad Köstritz (DE). **BISCHOFF, Mark**
[DE/DE]; Am Bach 3, 99334 Elleben OT Riechheim (DE).

BERGT, Michael [DE/DE]; Hohe-Strasse 4a, 07745 Jena
(DE).

(74) Anwälte: **BREIT, Ulrich** usw.; Geyer, Fehners & Partner,
Perhamerstrasse 31, 80687 München (DE).

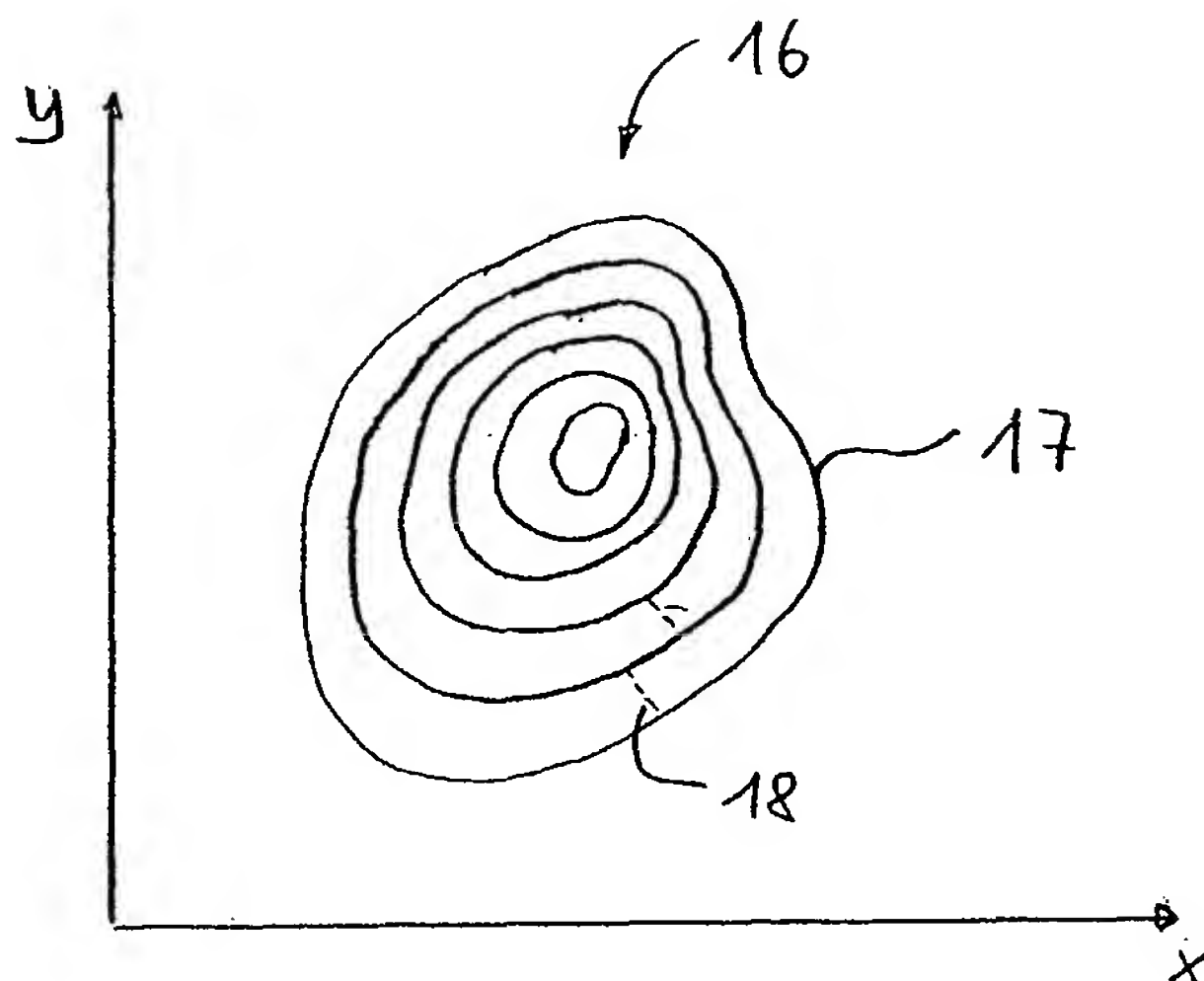
(81) Bestimmungsstaaten (soweit nicht anders angegeben, für
jede verfügbare nationale Schutzrechtsart): AE, AG, AL,
AM, AT, AU, AZ, BA, BB, BG, BR, BW, BY, BZ, CA, CH,
CN, CO, CR, CU, CZ, DE, DK, DM, DZ, EC, EE, EG, ES,
FI, GB, GD, GE, GH, GM, HR, HU, ID, IL, IN, IS, JP, KE,
KG, KP, KR, KZ, LC, LK, LR, LS, LT, LU, LV, MA, MD,
MG, MK, MN, MW, MX, MZ, NA, NI, NO, NZ, OM, PG,
PH, PL, PT, RO, RU, SC, SD, SE, SG, SK, SL, SY, TJ, TM,
TN, TR, TT, TZ, UA, UG, US, UZ, VC, VN, YU, ZA, ZM,
ZW.

(84) Bestimmungsstaaten (soweit nicht anders angegeben, für
jede verfügbare regionale Schutzrechtsart): ARIPO (BW,
GH, GM, KE, LS, MW, MZ, NA, SD, SL, SZ, TZ, UG,
ZM, ZW), eurasisches (AM, AZ, BY, KG, KZ, MD, RU,
TJ, TM), europäisches (AT, BE, BG, CH, CY, CZ, DE, DK,
EE, ES, FI, FR, GB, GR, HU, IE, IT, LU, MC, NL, PL, PT,
RO, SE, SI, SK, TR), OAPI (BF, BJ, CF, CG, CI, CM, GA,
GN, GQ, GW, ML, MR, NE, SN, TD, TG).

[Fortsetzung auf der nächsten Seite]

(54) Title: DEVICE AND METHOD FOR FORMING CURVED CUTS IN A TRANSPARENT MATERIAL

(54) Bezeichnung: VORRICHTUNG UND VERFAHREN ZUM AUSBILDEN GEKRÜMMTER SCHNITTFLÄCHEN IN EI-
NEM TRANSPARENTEN MATERIAL



(57) Abstract: The invention relates to a method for form-
ing curved cuts (9) in a transparent material, in particular
in the cornea (5), by the creation of optical perforations (8)
in said material (5) using laser radiation (3) that is focussed
in the material (5). The focal point is displaced three-di-
mensionally (7) to form the cut (9) by lining up the optical
perforations (8). The focal point (7) is displaced in a first
spatial direction (z) by a displaceable lens (6) and said focal
point (7) is guided in relation to the two remaining spatial
directions (x, y) in such a way that it follows the contours
(17) of the cut (9), which lie on a plane that is perpendicular
to the first spatial direction (z).

(57) Zusammenfassung: Es wird beschrieben ein
Verfahren zum Ausbilden gekrümmter Schnittflächen
(9) in einem transparenten Material, insbesondere
in der Augenhornhaut (5), durch Erzeugen optischer
Durchbrüche (8) im Material (5) mittels ins Material (5)
fokussierter Laserstrahlung (3), wobei der Fokuspunkt (7)
dreidimensional verstellt wird, um die Schnittfläche (9)
durch Aneinanderreihung der optischen Durchbrüche (8)

zu bilden, und wobei die Verstellung des Fokuspunktes (7) in einer ersten Raumrichtung (z) durch eine verstellbare Optik (6)
erfolgt und der Fokuspunkt (7) so geführt wird, dass er bezüglich der übrigen zwei Raumrichtungen (x, y) in einer Ebene senkrecht
zur ersten Raumrichtung (z) liegenden Höhenlinien (17) der Schnittfläche (9) folgt.

WO 2005/011547 A1



Veröffentlicht:

- mit internationalem Recherchenbericht
- vor Ablauf der für Änderungen der Ansprüche geltenden Frist; Veröffentlichung wird wiederholt, falls Änderungen eintreffen

Zur Erklärung der Zweibuchstaben-Codes und der anderen Abkürzungen wird auf die Erklärungen ("Guidance Notes on Codes and Abbreviations") am Anfang jeder regulären Ausgabe der PCT-Gazette verwiesen.

Vorrichtung und Verfahren zum Ausbilden gekrümmter Schnittflächen in einem transparenten Material

Die Erfindung bezieht sich auf ein Verfahren zum Ausbilden gekrümmter Schnittflächen in einem transparenten Material, insbesondere in der Augenhornhaut, durch Erzeugen optischer Durchbrüche im Material mittels ins Material fokussierter Laserstrahlung, wobei der Fokuspunkt dreidimensional verstellt wird, um die Schnittfläche durch Aneinanderreihung der optischen Durchbrüche zu bilden, und wobei die Verstellung des Fokuspunktes in einer ersten Raumrichtung mit geringer Maximalgeschwindigkeit erfolgt, als in den übrigen zwei Raumrichtungen. Die Erfindung bezieht sich weiter auf eine Vorrichtung zum Ausbilden gekrümmter Schnittflächen in einem transparenten Material, insbesondere in der Augenhornhaut, mit einer Laserstrahlungsquelle, die Laserstrahlung in das Material fokussiert und dort optische Durchbrüche bewirkt, wobei eine Scaneinrichtung, die den Fokuspunkt dreidimensional verstellt, und eine Steuereinrichtung vorgesehen sind, die die Scaneinrichtung ansteuert, um die Schnittfläche durch Aneinanderreihen der optischen Durchbrüche im Material zu bilden, und wobei die Scaneinrichtung zur Verstellung des Fokuspunktes in einer Raumrichtung eine verstellbare Optik aufweist.

Gekrümmte Schnittflächen innerhalb eines transparenten Materials werden insbesondere bei laserchirurgischen Verfahren und dort insbesondere bei augenchirurgischen Eingriffen erzeugt. Dabei wird Behandlungs-Laserstrahlung innerhalb des Gewebes d.h. unterhalb der Gewebeoberfläche derart fokussiert, daß optische Durchbrüche im Gewebe entstehen.

Im Gewebe laufen dabei zeitlich hintereinander mehrere Prozesse ab, die durch die Laserstrahlung initiiert werden. Überschreitet die Leistungsdichte der Strahlung einen Schwellwert, kommt es zu einem optischen Durchbruch, der im Material eine Plasmablase erzeugt. Diese Plasmablase wächst nach Entstehen des optischen Durchbruches durch sich ausdehnende Gase. Wird der optische Durchbruch nicht aufrechterhalten, so wird das in der Plasmablase erzeugte Gas vom umliegenden Material aufgenommen, und die Blase verschwindet wieder. Dieser Vorgang dauert allerdings sehr viel länger, als die Entstehung der

Blase selbst. Wird ein Plasma an einer Materialgrenzfläche erzeugt, die durchaus auch innerhalb einer Materialstruktur liegen kann, so erfolgt ein Materialabtrag von der Grenzfläche. Man spricht dann von Photoablation. Bei einer Plasmablase, die vorher verbundene Materialsichten trennt, ist üblicherweise von Photodisruption die Rede. Der Einfachheit halber werden all solche Prozesse hier unter dem Begriff optischer Durchbruch zusammengefaßt, d.h. dieser Begriff schließt nicht nur den eigentlichen optischen Durchbruch sondern auch die daraus resultierenden Wirkungen im Material ein.

Für eine hohe Genauigkeit eines laserchirurgischen Verfahrens ist es unumgänglich, eine hohe Lokalisierung der Wirkung der Laserstrahlen zu gewährleisten und Kolateralschäden in benachbartem Gewebe möglichst zu vermeiden. Es ist deshalb im Stand der Technik üblich, die Laserstrahlung gepulst anzuwenden, so daß der zur Auslösung eines optischen Durchbruchs nötige Schwellwert für die Leistungsdichte nur in den einzelnen Pulsen überschritten wird. Die US 5.984.916 zeigt diesbezüglich deutlich, daß der räumliche Bereich des optischen Durchbruchs (in diesem Fall der erzeugten Wechselwirkung) stark von der Pulsdauer abhängt. Eine hohe Fokussierung des Laserstrahls in Kombination mit sehr kurzen Pulsen erlaubt es damit, den optischen Durchbruch sehr punktgenau in einem Material einzusetzen.

Der Einsatz von gepulster Laserstrahlung hat sich in der letzten Zeit besonders zur laserchirurgischen Fehlsichtigkeitskorrektur in der Ophthalmologie durchgesetzt. Fehlsichtigkeiten des Auges rühren oftmals daher, daß die Brechungseigenschaften von Hornhaut und Linse keine optimale Fokussierung auf der Netzhaut bewirken.

Die erwähnte US 5.984.916 sowie die US 6.110.166 beschreiben gattungsgemäße Verfahren zur Schnitterzeugung mittels geeigneter Erzeugung optischer Durchbrüche, so daß im Endeffekt die Brechungseigenschaften der Hornhaut gezielt beeinflußt werden. Eine Vielzahl von optischen Durchbrüchen wird so aneinandergesetzt, daß innerhalb der Hornhaut des Auges ein linsenförmiges Teilvolumen isoliert wird. Das vom übrigen Hornhautgewebe getrennte linsenförmige Teilvolumen wird dann über einen seitlich öffnenden Schnitt aus der Hornhaut herausgenommen. Die Gestalt des Teilvolumens ist so gewählt, daß nach Entnahme die Form und damit die Brechungseigenschaften der Hornhaut so geändert sind, daß die erwünschte Fehlsichtigkeitskorrektur bewirkt ist. Die dabei geforderten Schnittflächen sind gekrümmt, was eine dreidimensionale Verstellung des Fokus nötig macht. Es wird deshalb eine zweidimensionale Ablenkung der Laserstrahlung mit gleichzeitiger Fokusverstellung in einer dritten Raumrichtung kombiniert.

Die zweidimensionale Ablenkung der Laserstrahlung ist wie die Fokusverstellung gleichermaßen für die Genauigkeit, mit der die Schnittfläche erzeugt werden kann,

ausschlaggebend. Gleichzeitig wirkt sich die Verstellgeschwindigkeit, die dabei erreichbar ist, auf die Schnelligkeit, mit der die geforderte Schnittfläche erzeugt werden kann, aus. Eine schnelle Schnittflächenerzeugung ist nicht nur aus Komfort- oder Zeitersparniswünschen anzustreben, vor dem Hintergrund, daß bei ophthalmologischen Operationen unvermeidlicherweise Bewegungen des Auges auftreten, fördert eine schnelle Schnittflächenerzeugung zusätzlich die optische Qualität des erzielten Resultats bzw. senkt die Anforderungen an eventuelle Nachführungen von Augenbewegungen.

Der Erfindung liegt deshalb die Aufgabe zugrunde ein Verfahren und eine Vorrichtung der eingangs genannten Art so auszugestalten, daß für die Erzeugung einer Schnittfläche eine möglichst geringe Zeit erforderlich ist.

Diese Aufgabe wird erfindungsgemäß mit einem Verfahren der eingangs genannten Art gelöst, bei dem der Fokuspunkt so geführt wird, daß er bezüglich der übrigen zwei Raumrichtungen Höhenlinien der Schnittfläche folgt, die in Ebenen liegen, welche im wesentlichen senkrecht zur ersten Raumrichtung sind.

Die Aufgabe wird weiter mit einer Vorrichtung der eingangs genannten Art gelöst, bei der die Steuereinrichtung die Scaneinrichtung so ansteuert, daß der Fokuspunkt in den übrigen zwei Raumrichtungen auf Höhenlinien der Schnittfläche geführt ist, welche in Ebenen liegen, die senkrecht zur ersten Raumrichtung sind.

Erfindungsgemäß werden also bei der Erzeugung der optischen Durchbrüche Bahnen verwendet, denen Höhenlinien der zu erzeugenden Schnittfläche zugrunde liegen. Die Höhenlinien sind dabei auf diejenige Raumrichtung des Systems bezogen, in der die langsamste Verstellgeschwindigkeit gegeben ist. Es ist dadurch möglich, den Fokus in dieser Raumrichtung über einen längeren Zeitraum nahezu unverändert zu lassen, und die höhere Verstellgeschwindigkeit in den anderen beiden Raumrichtungen kann ohne Begrenzung ausgeschöpft werden. Man erhält insgesamt eine schnelle Schnittflächenerzeugung. Die Höhenlinien kann man zweckmäßigerweise durch Schneiden der gekrümmten Schnittfläche mit Ebene senkrecht zur ersten Raumrichtung erhalten. Je exakter die Ebenen der Höhenlinien senkrecht zur ersten Raumrichtung stehen, desto konstanter kann die Verstellung in der ersten Raumrichtung während einer Höhenlinie gehalten werden.

Die Laserstrahlung wird dazu zumindest bezogen auf die zwei Raumrichtungen, die senkrecht zur Ebene der Höhenlinie liegen, unter Berücksichtigung des Höhenlinienverlaufes verstellt. Dabei ist es zum einen möglich, daß der Fokuspunkt innerhalb gewisser Toleranzen exakt der jeweiligen Höhenlinie folgt. In diesem Fall beschreibt der Fokuspunkt konzentrisch gelegene

geschlossene Bahnkurven, wobei für jede Bahnkurve der Fokus in der ersten Raumrichtung entsprechend unterschiedlich eingestellt ist. Anstelle von geschlossenen Bahnkurven, die den Höhenlinien innerhalb bestimmter Toleranzen exakt folgen, ist es auch möglich, die Höhenlinien zusammenhängend miteinander zu verbinden. Der Fokuspunkt wird dabei entlang einer Höhenlinie bewegt, wobei die einzelnen Höhenlinien nicht als geschlossene Bahnkurven ausgeführt werden, sondern benachbarte Höhenlinien durch einen gleitenden Übergang miteinander verbunden sind, so daß insgesamt der Fokuspunkt auf einer einzigen zusammenhängenden Bahnkurve bewegt wird. Es entsteht dadurch eine auf einer geschlossenen Bahnkurve liegende Reihe optischer Durchbrüche, die die Schnittfläche bilden. Diese ununterbrochene Aneinanderreihung von Höhenlinien kann vorzugsweise dadurch erreicht werden, daß der Fokuspunkt jeweils bis auf ein Reststück vollständig entlang der Höhenlinie bewegt wird und im Reststück durch Verstellung des Fokuspunktes in der ersten Raumrichtung ein Übergang zur nächsten Höhenlinie bewirkt wird. Dieser Ansatz hat den Vorteil, daß die Anforderungen an die Verstellung in der ersten Raumrichtung nochmals gesenkt sind, da auch während des Übergangs zwischen zwei Höhenlinien optische Durchbrüche zur Bildung der Schnittfläche erzeugt werden.

Das Höhenlinienbild wird dabei von der Topographie, d.h. der Krümmung der Schnittfläche abhängen. Bei einer sphärisch gekrümmten Schnittfläche erhält man konzentrische kreisförmige Höhenlinien. Da bei augenoptischen Korrekturen regelmäßig auch ein gewisser Astigmatismus zu korrigieren ist, wird jedoch eine sphärisch gekrümmte Schnittfläche eher die Ausnahme, eine Ellipsoid- oder Toroidfläche dagegen meist die Regel sein. Für eine solche Ellipsoidfläche sind die Höhenlinien als (günstigerweise konzentrische) Ellipsen ausgebildet. Vorzugsweise liegt die Elliptizität zwischen 1,0 und 1,1 oder sogar 1,2.

Bei einer solchen Form können die Höhenlinien auch derart der Führung des Fokuspunktes zugrundegelegt werden, daß der abgelenkte Fokuspunkt einer Ellipsoid-Spirale folgt, d.h. einer auf der Mantelfläche der gekrümmten Schnittfläche liegenden Spirale.

Die Elliptizität der Ellipsen bzw. der Ellipsoid-Spirale kann dabei von der Form der Hornhautoberfläche abhängen. Unter Elliptizität ist das Verhältnis der großen Hauptachse einer Ellipse zu ihrer kleinen Hauptachse zu verstehen.

Für kontaktlose Verfahren wird mit der natürlichen Oberflächentopographie gearbeitet, bei Verwendung eines Kontaktglases spielt die Form dieses Kontaktglases eine Rolle. Hier besteht ein Vorteil des Ansatzes mit Verwendung eines Kontaktglases, da die Topographie mit angepreßtem Kontaktglas wohl definiert ist. Ein ebenes Kontaktglas stellt einen mathematischen Grenzfall dar, und das Konzept des Höhenlinien-Scans führt hier zur Entartung

der Bahnkurven, obwohl diese auch noch als geschlossen bezeichnet werden können. Für den auch aus applikativer Sicht interessanteren Fall eines gekrümmten Kontaktglases ergibt sich eine Abhängigkeit der Oberflächentopographie, z. B. der Elliptizität von der Krümmung des Kontaktglases. Dies gilt auch, wenn die Krümmung rein sphärisch ist, da sich dann ebenfalls eine Ellipsoidform für die Schnittfläche einstellt. Die Elliptizität ist allerdings meist nicht im ganzen Bearbeitungsfeld gleich, sondern zeigt oft eine radiale Abhängigkeit.

Im Prinzip ergibt sich für die Elliptizität e folgender Zusammenhang:

$$e(z) = \frac{\sqrt{R_a^2 - (R_a - z)^2}}{\sqrt{R_b^2 - (R_b - z)^2}},$$

wobei R_a und R_b die Krümmungsradien der Cornea-Oberfläche in Richtung der Hauptachsen der Ellipse bezeichnen und z der Abstand des Bearbeitungspunktes (der Höhenlinie) vom Hornhautscheitel ist. Da z dann eine Funktion des radialen Parameters des Bearbeitungsfeldes (Abstand zur optischen Achse) ist, ist es zweckmäßig, die bereits erwähnte radiale Abhängigkeit der Elliptizität als $e(z) = e(z(r))$ zu wählen.

Die oben genannte Gleichung gilt primär für das unkontaktierte Auge, da auch dort, wie oben erwähnt, meist eine Ellipsoidform vorliegt. Bei Anpressen an ein Kontaktglas kommt es in der Regel zu einer Deformation, die bei der Berechnung berücksichtigt wird. Dabei spielen neben den Kugelkoordinaten R, φ, α im natürlichen Augensystem und im Kontaktglassystem (gestrichene Koordinaten) der äußere Krümmungsradius der Cornea R_{cv} und der Krümmungsradius des Kontaktglases R_G eine Rolle. Eine einfache und kompakte Form der Transformationsgleichungen für diese Anpreßtransformation lautet:

$$\begin{aligned}\varphi' &= \varphi \\ \alpha' \cdot R' &= \alpha \cdot R \\ R_G - R' &= R_{cv} - R\end{aligned}$$

Weitere Ergänzungen, die in den Gleichungen zu Korrekturtermen führen, sind natürlich möglich und teilweise auch sinnvoll. Der hier offenbarte heuristische Ansatz wird dadurch jedoch nur modifiziert, gilt also im Prinzip weiter. Die genannten Zusammenhänge ermöglichen eine einfache Berechnung der Bahnkurven, was auch die Berechnung der Elliptizität mit einschließt. Ein besonders wichtiger Schritt bei den Algorithmen zur Berechnung ist die oben angegebene Vorwärts- und Rückwärtstransformation zwischen natürlichem Augensystem und Kontaktglassystem.

Die Elliptizität der Bahnkurven beträgt für ein Kontaktglas mit einem Krümmungsradius, der etwa dem des menschlichen Auges entspricht, in der Regel weniger als 1.4 (große Hauptachse 10% länger als die kleine Hauptachse). Die Elliptizität beträgt bei einer sphäro-zylindrischen Korrektur mit -2dpt und 1dpt beispielsweise nur etwa 1.03 im zentralen Feldbereich nahe der optischen Achse und wächst mit dem Abstand von der optischen Achse bis zur äußeren Bahnkurve um ca. 10%. Für eine praktikable Ausführungsform spielt die Veränderlichkeit der Elliptizität oder einer entsprechenden Modifikation einer idealen Kreisbahn bei Fehlsichtigkeitskorrektur höherer Ordnung keine störende Rolle, kann also in einer ersten Näherung als konstant angenommen werden.

Die Abstände zwischen den der Steuerung zugrunde zu legenden Höhenlinien sind naturgemäß durch die Abstände der Ebenen gegeben, die durch einen mathematischen Schnitt mit der gekrümmten Schnittfläche die Höhenlinien erzeugt sind. Um sicherzustellen, daß die Vielzahl von optischen Durchbrüchen eine zusammenhängende Schnittfläche ausbildet, ist darauf zu achten, daß der Maximalabstand der Höhenlinien einen Grenzwert nicht überschreitet. Es ist deshalb zweckmäßigerweise zu bevorzugen, daß Abstände der Höhenlinien in der ersten Raumrichtung so gewählt werden, daß die Abstände zwischen benachbarten Höhenlinien einen Grenzwert nicht überschreiten. Dabei kann als zu überprüfendes Maß sowohl der Abstand im Höhenlinienbild als auch der Abstand im dreidimensionalen Raum verwendet werden. Da in der Augen Chirurgie die gekrümmten Schnittflächen zur optischen Korrektur innerhalb gewisser Grenzen in oftmals ausreichender Näherung einer sphärischen bzw. einer Ellipsoid-Geometrie genügen, kann es zur Vereinfachung ausreichen, daß die Abstände in der ersten Raumrichtung so gewählt werden, daß die mittleren Abstände der Höhenlinien konstant sind und insbesondere unterhalb eines Schwellwertes liegen, der natürlich geringer ist als der vorgenannte Grenzwert. Bei ellipsoidförmigen Schnittflächen kann vereinfacht im Höhenlinienbild der Abstand benachbarter Höhenlinien an der langen Halbachse ausgewertet werden, um sicherzustellen, daß die optischen Durchbrüche ausreichend dicht liegen.

Bei ophthalmologischen Operationen kann es mitunter erforderlich werden, auch höhere Aberrationen durch Entfernen eines Volumens aus der Hornhaut zu korrigieren. Die dazu erforderliche gekrümmte Schnittfläche weist dementsprechend dann auch höhere Krümmungsordnungen auf. Will man diese Formen durch Höhenlinien direkt abbilden, ergibt sich mitunter ein sehr komplexes Höhenlinienbild, das eine komplexe und schnelle Verstellung in den zwei übrigen Raumrichtungen beim Abfahren einer Höhenlinie erfordert. Für solche Fälle ist es zweckmäßig, bei der Bestimmung der Höhenlinien die höheren Krümmungsordnungen der gekrümmten Schnittfläche zu vernachlässigen und dann, während der Fokuspunkt in den übrigen zwei Raumrichtungen gemäß der Höhenlinie verstellt wird, die Verstellung in der ersten Raumrichtung gemäß dem Einfluß der höheren Krümmungsordnungen zu verändern. Die

Korrektur höherer Aberrationen wird also dann in der ersten Raumrichtung, z.B. in z-Richtung auf eine Grundbewegung aufmoduliert, die der gekrümmten Schnittfläche ohne höhere Aberrationen entspricht.

Bei vielen augenoptischen Korrekturen ist es aufgrund physiologischer Gegebenheiten vorteilhaft, zur Fehlsichtigkeitskorrektur ein Volumen zu entnehmen, das bezogen auf die optische Achse des Auges in einem kreisförmigbegrenzten Bereich liegt. Dies gilt auch, falls astigmatische Korrekturen nötig sind. Für solche Fälle ist es vorteilhaft, mittels der Höhenlinien eine Ellipse abzutasten, in den Randbereichen, in denen die Ellipse über den gewünschten kreisförmigen Bereich hinausragt, jedoch die Laserstrahlung (z. B. durch einen optischen Schalter oder eine Blende oder durch Eingriff an der Laserstrahlungsquelle) so zu steuern, daß dort keine optischen Durchbrüche bewirkt werden. Durch eine derartige Ausblendung von Randbereichen der Ellipse kann sichergestellt werden, daß die (astigmatisch) gekrümmte Schnittfläche nur in einem kreisförmigen Bereich erzeugt wird.

In der erfindungsgemäßen Vorrichtung kann die Verstellung des Fokuspunktes mit einer Scaneinrichtung bewirkt werden, die zur Verstellung in der ersten Raumrichtung (üblicherweise z-Richtung) ein vorzugsweise als abstimmbares Teleskop ausgebildetes Zoom-Objektiv und für die anderen beiden Raumrichtungen (üblicherweise x- und y-Richtungen) zwei Kippspiegel mit gekreuzten Drehachsen aufweist.

Für die durch optische Mittel bewirkte Ausbildung gekrümmter Schnittflächen ist es vorteilhaft, wenn die Oberfläche des Materials, insbesondere die Augenhornautvorderfläche, eine bekannte Form hat. Dies erleichtert die Führung des Fokuspunktes. Weiter ist es zweckmäßig, das zu bearbeitende Material, insbesondere die Augenhornhaut, räumlich zu fixieren, da man dann auf mitunter aufwendige Strahlnachführungen verzichten kann. Unter beiden Gesichtspunkten ist es zweckmäßig, auf das Material ein Kontaktglas aufzusetzen, das der Materialoberfläche eine bestimmte Form gibt. Diese Form wird dann bei der Bestimmung der Höhenlinien berücksichtigt. Dies kann insbesondere dadurch erfolgen, daß die eingangs erwähnte Koordinatentransformation, die durch das Anpressen an das Kontaktglas erfolgt, bei der Ansteuerung eingeht.

Die Verwendung eines Kontaktglases ist sowohl für das erfindungsgemäße Verfahren als auch für die erfindungsgemäße Vorrichtung vorteilhaft. Bei der Vorrichtung ist die vom Kontaktglas der Oberfläche des Materials verliehene Form in der Steuereinrichtung bekannt oder wird dieser geeignet eingegeben, so daß die Steuereinrichtung bei der Wahl der Höhenlinien die Oberflächenform des Materials zugrundelegt.

Die Erfindung wird nachfolgend unter Bezugnahme auf die Zeichnung beispielhalber noch näher erläutert. In der Zeichnung zeigt:

- Figur 1 eine perspektivische Darstellung eines Patienten während einer laserchirurgischen Behandlung mit einem laserchirurgischen Instrument,
- Figur 2 die Fokussierung eines Strahlenbündels auf das Auge des Patienten beim Instrument der Figur 1,
- Figur 3 eine schematische Darstellung zur Erläuterung einer während der laserchirurgischen Behandlung mit dem Instrument der Figur 1 erzeugten Schnittfläche,
- Figur 4 eine Ablenkvorrichtung des laserchirurgischen Instruments der Figur 1,
- Figur 5 ein beispielhaftes Höhenlinienbild, das bei der Ansteuerung der Ablenkeinrichtung der Figur 4 zugrundegelegt wird,
- Figur 6 einen Ausschnitt eines Höhenlinienbilds ähnlich dem der Figur 5 zur Verdeutlichung des Übergangs zwischen aufeinanderfolgenden Höhenlinien,
- Figur 7 ähnlich der Figur 6 mit einer weiteren Möglichkeit für einen Übergang zwischen Höhenlinien,
- Figuren 8a und 8b ein weiteres Beispiel für ein Höhenlinienbild samt zugehörigen Ansteuerfunktionen für die Ablenkvorrichtung der Figur 4,
- Figur 9 eine Draufsicht auf einen Schnittbereich beim Ausführen einer augenoptischen Operation zur Fehlsichtigkeitskorrektur,
- Figur 10 eine Darstellung ähnlich der Figur 2 bei Verwendung eines Kontaktglases,
- Figur 11 bei der Bestimmung der Höhenlinien relevante Größen und
- Figuren 12 und 13 die Größen der Figur 11 mit und ohne Kontaktglas.

In Figur 1 ist ein laserchirurgisches Instrument zur Behandlung eines Auges 1 eines Patienten gezeigt, wobei das laserchirurgische Instrument 2 zur Ausführung einer refraktiven Korrektur dient. Das Instrument 2 gibt dazu einen Behandlungs-Laserstrahl 3 auf das Auge des Patienten 1 ab, dessen Kopf in einen Kopfhalter 4 fixiert ist. Das laserchirurgische Instrument 2 ist in der Lage, einen gepulsten Laserstrahl 3 zu erzeugen, so daß das in US 6.110.166 beschriebene Verfahren ausgeführt werden kann.

Das laserchirurgische Instrument 2 weist dazu, wie in Figur 2 schematisch dargestellt ist, eine Strahlquelle S auf, deren Strahlung in die Hornhaut 5 des Auges 1 fokussiert wird. Mittels des laserchirurgischen Instrumentes 2 wird eine Fehlsichtigkeit des Auges 1 des Patienten dadurch behoben, daß aus der Hornhaut 5 Material so entfernt wird, daß sich die Brechungseigenschaften der Hornhaut um ein gewünschtes Maß ändern. Das Material wird dabei dem Stroma der Hornhaut entnommen, das unterhalb von Epithel und Bowmanscher Membran oberhalb der Decemetschen Membran und des Endothels liegt.

Die Materialentfernung erfolgt, indem durch Fokussierung des hochenergetischen gepulsten Laserstrahls 3 mittels eines objektiven Teleskops 6 in einem in der Hornhaut 5 liegenden Fokus 7 in der Hornhaut Gewebeschichten getrennt werden. Jeder Puls der gepulsten Laserstrahlung 3 erzeugt dabei einen optischen Durchbruch im Gewebe, welcher eine Plasmablasen 8 initiiert. Dadurch umfaßt die Gewebeschichttrennung ein größeres Gebiet, als der Fokus 7 der Laserstrahlung 3. Durch geeignete Ablenkung des Laserstrahls 3 werden nun während der Behandlung viele Plasmablasen 8 aneinandergereiht. Die aneinanderliegenden Plasmablasen 8 bilden dann eine Schnittfläche 9, die ein Teilvolumen T des Stromas, nämlich das zu entfernende Material der Hornhaut 5 umschreiben.

Das laserchirurgische Instrument 2 wirkt durch die Laserstrahlung 3 wie ein chirurgisches Messer, das, ohne die Oberfläche der Hornhaut 5 zu verletzen, direkt Materialschichten im Inneren der Hornhaut 5 trennt. Führt man den Schnitt durch weitere Erzeugung von Plasmablasen 8 bis an die Oberfläche der Hornhaut 5, kann ein durch die Schnittfläche 9 isoliertes Material der Hornhaut 5 seitlich herausgezogen und somit entfernt werden.

Die Erzeugung der Schnittfläche 9 mittels des laserchirurgischen Instrumentes 2 ist in Figur 3 schematisch dargestellt. Durch Aneinanderreihung der Plasmablasen 8 in Folge stetiger Verschiebung des Fokus 7 des gepulsten fokussierten Laserstrahls 3 wird die Schnittfläche 9 gebildet.

Die Fokusverschiebung erfolgt dabei zum einen in einer Ausführungsform mittels der in Figur 4 schematisch dargestellten Ablenkeinheit 10, die den auf einer Haupteinfallssachse H auf das Auge 1 einfallenden Laserstrahl 3 um zwei senkrecht zueinander liegenden Achsen ablenkt. Die Ablenkeinheit 10 verwendet dafür einen Zeilenspiegel 11 sowie einen Bildspiegel 12, was zu zwei hintereinander liegenden räumlichen Ablenkachsen führt. Der Kreuzungspunkt der Hauptstrahlachse mit der Ablenkachse ist dann der jeweilige Ablenkpunkt. Zur Fokusverschiebung wird zum anderen das Teleskop 6 geeignet verstellt. Dadurch kann der Fokus 7 in dem in Figur 4 schematisch dargestellten x/y/z-Koordinatensystem entlang dreier orthogonaler Achsen verstellt werden. Die Ablenkeinheit 10 verstellt den Fokus in der x/y-Ebene, wobei der Zeilenspiegel den Fokus in der x-Richtung und der Bildspiegel in der y-Richtung zu verstellen erlaubt. Das Teleskop 6 wirkt dagegen auf die z-Koordinate des Fokus 7.

Ist eine wie in Fig. 3 gezeigte Schnittfläche 9 in die gleiche Richtung wie die Hornhautoberfläche gewölbt, so ist dies mit einer Optik, deren Bildfeldkrümmung ähnlich der Krümmung der Hornhaut ist, zu erreichen, ohne daß die Führung des Fokus 7 dies berücksichtigen muß.

Aufgrund der Corneakrümmung, die zwischen 7 und 10 mm beträgt, ist das Teilvolumen T auch entsprechend gekrümmt. Die Corneakrümmung wirkt sich somit in Form einer Bildfeldkrümmung aus. Diese wird durch geeignete Ansteuerung der Ablenkeinheit berücksichtigt.

Zur Erzeugung der Schnittfläche 9 wird aus deren Krümmung ein Höhenlinienbild 16 bestimmt, wie es beispielshalber in Figur 5 in der x/y-Ebene dargestellt ist. Das Höhenlinienbild 16 besteht aus einer Vielzahl konzentrischer Höhenlinien 17, die Punkte gleicher z-Koordinaten der Schnittfläche 9 verbindet. Das Höhenlinienbild 16 wurde gewonnen, in dem aus der gekrümmten Schnittfläche 9 diejenigen Punkte bestimmt, z. B. herausgefiltert wurden, die zumindest näherungsweise eine bestimmte z-Koordinate haben. Dies entspricht einem mathematischen Schnitt der gekrümmten Schnittfläche 9 mit einer x/y-Ebene mit der jeweiligen z-Koordinate. Die z-Koordinaten wurden dabei zur Erzeugung der einzelnen Höhenlinien 17 des Höhenlinienbildes 16 der Figur 5 so gewählt, daß die Abstände benachbarter der Höhenlinien 17 im Höhenlinienbild 16 einen vorbestimmten Grenzwert nicht überschreiten. Dieser Grenzwert ist durch den maximal zulässigen Abstand zweier Plasmablasen 8 festgelegt, der zum Erreichen einer zusammenhängenden Schnittfläche zulässig ist.

Zum Erzeugen der Schnittfläche 9 wird nun der Fokus 7 entsprechend der Höhenlinien 17 durch die Ablenkeinheit 10 verstellt, wobei die Zoom-Optik 6 für jede Höhenlinie 17 die entsprechende z-Koordinate für den Fokus 7 einstellt. Während der Fokus 7 über eine Höhenlinie 17 läuft, bleibt das Teleskop 6 fest eingestellt. Lediglich während in Figur 5 gestrichelt eingezeichneten Übergängen 18 zwischen benachbarten Höhenlinien erfolgt eine Verstellung.

Figur 6 zeigt einen Ausschnitt des Höhenlinienbildes 16. Jede Höhenlinie 17 wird dabei als fast vollständig geschlossene Kurve vom Fokus 7 abgefahren, wobei der Abstand zwischen Anfang und Ende einer Höhenlinie 17 den durch den Grenzwert definierten zulässigen maximalen Abstand zwischen zwei Plasmablasen 8 nicht überschreitet. Am Ende einer jeden Höhenlinie 17 (in Figur 6 sind drei Höhenlinien 17.1, 17.2 und 17.3 angedeutet) erfolgt ein Übergang 18 durch Verstellen des Teleskopes 6 zur jeweils nächsten Höhenlinie. Zwischen den Höhenlinien 17.1 und 17.2 liegt dadurch ein Übergang 18.1, zwischen den Höhenlinien 17.2 und 17.3 ein Übergang 18.2. Dies setzt sich für alle Höhenlinien fort. Durch den derart gewählten Übergang ist zum einen erreicht, daß der Grenzwert für den maximal zulässigen Abstand zwischen zwei Plasmablasen 8 nicht überschritten wird, zum anderen die Höhenlinien 17 als zusammenhängende Spur geschrieben werden kann.

In Figur 6 liegen die Übergänge 18 im wesentlichen auf Falllinien der gekrümmten Schnittfläche 9. Figur 7 zeigt diesbezüglich andere Übergänge 18.1 bis 18.3, bei denen ein gleitender Übergang zwischen dem Ende einer Höhenlinie und dem Beginn der unmittelbar benachbarten Höhenlinie erfolgt. Zur Verdeutlichung ist die vom Fokus 7 nicht verfolgte Fortsetzung der entsprechenden Höhenlinien in Figur 7 gestrichelt eingezeichnet. Wie zu sehen ist, wird am Ende einer Höhenlinie 17 ein gleitender Übergang auf die nächste Höhenlinie durch geeignete Ansteuerung des Zeilenspiegels 11 sowie des Bildspiegels 12 vorgenommen. Gleichzeitig wird synchron das Teleskop 6 während der dadurch erreichten Übergänge 18.1, 18.2 und 18.3 verstellt.

Es ergibt sich dadurch im Gegensatz zum Übergang der Figur 6, bei der benachbarte Höhenlinien in entgegengesetzter Umlaufrichtung durchlaufen werden, ein gleichsinniger Umlauf um die Höhenlinien, die ähnlich einer Spirale aneinandergereiht werden. Im Unterschied zu einer wirklichen Spirale wird jedoch bis auf den Übergang 18 die Höhenlinie durch den Fokus 7 abgefahren und der Wechsel von einer Höhenlinie zur nächsten erfolgt über einen kleinen Winkelbereich des Umlaufs statt kontinuierlich während eines 360° Umlaufes.

Figur 8a zeigt ein weiteres Beispiel für ein Höhenlinienbild 16, das hier aus konzentrischen elliptischen Höhenlinien 17 aufgebaut ist. Für dieses Höhenlinienbild ist für jede Höhenlinie 17 die in Figur 8b schematisch dargestellte zeitliche Ansteuerung von Zeilenspiegel 11 und Bildspiegel 12 vorgesehen, die hier mit Ansteuerfunktionen F_y und F_x angesteuert werden, die der Gleichung $\sin \varphi$ bzw. $A \cdot \sin(\varphi + \alpha)$ und $\cos \varphi$ bzw. $R \cdot \cos(\varphi + \alpha)$ genügen (mit φ Winkelparameter der Höhenlinie, α auf die Winkellage der Ellipsenhauptachse zur y-Achse wirkendem Parameter R , und A die Elliptizität beeinflussendem Parameter, wobei meist $R=1$ gilt).

Da bei einem nichtkreisförmigen Höhenlinienbild die Schnittfläche 9, in z-Richtung gesehen einen nichtkreisförmigen Bereich umfaßte, was aus ophtalmologischer Sicht nicht wünschenswert ist, wird in einer Ausführungsform bei solchen, nicht rotationssymmetrischen Höhenlinienbildern in Bereichen, die außerhalb eines kreisförmigen Bereiches liegen, die Strahlquelle S so gesteuert, daß sie im Material 5 keinen optischen Durchbruch, d.h. keine Plasmablase 8 erzeugt. Dies ist in Figur 9 durch unterschiedliche Schraffuren dargestellt. Im von links oben nach rechts unten schraffierten kreisförmigen Bereich 19 kann die Strahlquelle S Plasmablasen 8 erzeugen. In den darüber hinausragenden Bereichen 20, in denen das Höhenlinienbild 16 den gewünschten kreisförmigen Bereich 19 verläßt, ist die Strahlquelle S dagegen abgeschaltet oder wird zumindest so betrieben, daß keine Plasmablasen 8 entstehen können.

Bisher wurde das laserchirurgische Instrument 2 sowie das dadurch ausgeführte Verfahren in Zusammenhang mit einem Konzept beschrieben, das die Form der Vorderfläche der Augenhornhaut für den Eingriff unverändert läßt. Obige Beschreibung gilt jedoch auch für Ansätze, die auf die Augenhornhaut 5 ein Kontaktglas aufsetzen. Der bei einem solchen Vorgehen vorliegende Aufbau ist schematisch in Figur 10 gezeigt, die im wesentlichen der Figur 2 entspricht, so daß auf dort bereits beschriebene Elemente nicht weiter eingegangen wird. Im Unterschied zu Figur 2 ist auf die Augenhornhaut 5 jetzt allerdings ein Kontaktglas 21 aufgesetzt, das mit seiner Innenfläche 22 der Vorderfläche der Augenhornhaut 5 ein bestimmtes Profil verleiht. Im Unterschied zum bisher beschriebenen Vorgehen, ist nun bei der Bestimmung der Bahnkurven, z. B. der Höhenlinien, nicht mehr die Krümmung der Augenhornhaut 5 im freien, d. h. natürlichen Zustand, zugrundezulegen, sondern die durch die Innenfläche 22 des Kontaktglases 21 vorgegebene Form.

Ohne Kontaktglas 21 stellen sich die geometrischen Verhältnisse am Auge 1 wie in Figur 11 gezeigt dar. Die Augenhornhaut 5 ist bezogen auf das Augenzentrum Z näherungsweise sphärisch gekrümmt, so daß sie durch einen Krümmungsradius R_{cv} sowie die Lage des Zentrums Z auf der optischen Achse OA eindeutig lagebestimmt ist. Die Koordinaten eines Punktes, an dem ein Laserfokus 7 zu liegen kommt, um eine Plasmablase 8 zu erzeugen, sind damit entweder in Zylinderkoordinaten (Radius r von der optischen Achse OA, Abstand z von der Scheitelpunktebene und Winkel φ) oder in radialen Koordinaten (Radius r vom Augenzentrum Z, Winkel φ und α) eindeutig angebar. In beiden Koordinatensystemen können die Höhenlinien bzw. die Bahnkurven, an denen der Fokus 7 verstellt wird, berechnet und angegeben werden, wobei in Zylinderkoordinaten elliptische Bahnkurven besonders einfach mathematisch beschrieben werden können.

Setzt man nun auf das Auge ein Kontaktglas 21 auf, liegen die in Figur 13 gezeigten Verhältnisse vor, solange das Kontaktglas 21 mit seiner Innenfläche 22 die Augenhornhaut nicht verformt. Das Kontaktglas ist hier sphärisch gekrümmt, wobei der Krümmungsradius R_G größer ist, als der Krümmungsradius R_{cv} der Augenhornhaut. Preßt man nun das Kontaktglas 21 auf das Auge 1, verformt sich die Augenhornhaut 5 von einer Kugel zu einem Ellipsoid; es stellen sich die in Figur 12 schematisch dargestellten Verhältnisse ein. Das Anpressen bewirkt also die Verformung des Auges, das sich zumindest in einem Bereich um die optische Achse OA sehr viel enger an die Innenfläche 22 des Kontaktglases 21 anlegt, als ohne Anpressung.

Da sich die geometrischen Verhältnisse nun ändern, kann man den Vorgang des Anpressens bezüglich der mathematischen Beschreibung der Orte der Fokuspunkte 7 und damit der Bahnkurven in einer Koordinatentransformation, die auch als „Anpreßtransformation“ bezeichnet wird, fassen. Die transformierten Koordinaten werden dann zweckmäßigerweise auf

den Mittelpunkt M des vorzugsweise sphärisch gekrümmten Kontaktglases bezogen, da das Kontaktglas üblicherweise auch zur Fixierung des Auges 1 verwendet wird, d. h. fest mit dem Instrument 2 verbunden ist. Hier wirkt sich die Doppelfunktion des Kontaktglases (Formgebung und räumliche Fixierung) aus.

Es stellen sich dann elliptische Bahnkurven ein. Die Elliptizität der Bahnkurven hängt von der Form dieses Kontaktglases ab. Unter Elliptizität ist das Verhältnis der großen Hauptachse einer Ellipse zu ihrer kleinen Hauptachse zu verstehen.

Ein ebenes Kontaktglas stellt einen mathematischen Grenzfall dar, und das Konzept des Höhenlinien-Scans führt hier zur Entartung der Bahnkurven, obwohl diese auch noch als geschlossen bezeichnet werden können. Für den auch aus applikativer Sicht interessanteren Fall eines gekrümmten Kontaktglases ergibt sich eine Abhängigkeit der Elliptizität von der Krümmung des Kontaktglases. Die Elliptizität ist zudem meist nicht im ganzen Bearbeitungsfeld gleich, sondern zeigt eine radiale Abhängigkeit.

Im Prinzip gilt für die Elliptizität e:

$$e(z) = \frac{\sqrt{R_a^2 - (R_a - z)^2}}{\sqrt{R_b^2 - (R_b - z)^2}},$$

wobei R_a und R_b die Krümmungsradien der Cornea-Oberfläche in Richtung der Hauptachsen der Ellipse bezeichnen und z den Abstand des Bearbeitungspunktes (der Höhenlinie) vom Hornhautscheitel. Da z in dem gewählten Zylinderkoordinatensystem (z , Abstand von Hornhautscheitel; r , Abstand zur optischen Achse; φ) dann eine Funktion des radialen Parameters v des Bearbeitungsfeldes ist, ist es zweckmäßig, die radiale Abhängigkeit der Elliptizität durch $e(z) = e(z(r))$ zu beschreiben.

Die oben genannte Gleichung gilt primär für das unkontaktierte Auge. Bei Anpressen an ein Kontaktglas kommt es in der Regel zu einer Deformation, die bei der Berechnung berücksichtigt werden muß. Dabei spielen der äußere Krümmungsradius der Cornea R_{Cv} und der Krümmungsradius des Kontaktglases R_G eine Rolle. Eine einfache und kompakte Form der Transformation lautet:

$$\varphi' = \varphi$$

$$\alpha' \cdot R' = \alpha \cdot R$$

$$R_G - R' = R_{Cv} - R$$

Weitere Ergänzungen, die in den Gleichungen zu Korrekturtermen führen, sind natürlich möglich und teilweise auch sinnvoll. Obiger Ansatz wird dadurch jedoch nur modifiziert, gilt also im Prinzip weiter. Die genannten Zusammenhänge ermöglichen die Berechnung der Bahnkurven, was auch die Berechnung der Elliptizität mit einschließt. Ein besonders wichtiger Schritt bei den Algorithmen zur Berechnung ist die Vorwärts- und Rückwärtstransformation zwischen natürlichem Augensystem und Kontaktglassystem.

Die Elliptizität der Bahnkurven beträgt für ein Kontaktglas mit einem Krümmungsradius, der etwa dem des menschlichen Auges entspricht, in der Regel weniger als 1.2 (große Hauptachse 10% länger als die kleine Hauptachse). Die Elliptizität beträgt bei einer sphäro-zylindrischen Korrektur mit -2dpt und 1dpt beispielsweise nur etwa 1.03 im zentralen Feldbereich nahe der optischen Achse und wächst mit dem Abstand von der optischen Achse bis zur äußeren Bahnkurve um ca. 10%. Für einen Ansatz spielt die Veränderlichkeit der Elliptizität oder einer entsprechenden Modifikation einer idealen Kreisbahn bei Fehlsichtigkeitskorrektur höherer Ordnung keine störende Rolle, kann also in einer ersten Näherung als konstant angenommen werden.

Es sei noch einmal betont, daß die erfindungsgemäße Verwendung von Höhenlinien sowohl für Ansätze mit wie auch ohne (ebenem oder gekrümmtem) Kontaktglas anwendbar sind, allerdings entfällt bei der Verwendung eines Kontaktglases jeglicher Nachführungsbedarf und es besteht keine Unsicherheit hinsichtlich der vorliegenden Oberflächentopographie.

Wird kein Kontaktglas verwendet, läßt sich die Oberflächentopographie mit geeigneten Verfahren und Vorrichtungen bestimmen und wird anschließend, (analog) ebenso wie die durch den Anpreßvorgang festgelegte Topographie im Verfahren berücksichtigt.

Ist die Form der Kontaktglasfläche nicht durch eine Sphäre beschreibbar, sondern folgt einer anderen Raumflächenfunktion, beispielsweise einem Paraboloiden, kann analog der oben angegebenen Transformation ein Transformationsgesetz angegeben werden, das aber den gleichen physikalischen Gedanken folgt.

Patentansprüche

1. Verfahren zum Ausbilden gekrümmter Schnittflächen (9) in einem transparenten Material, insbesondere in der Augenhornhaut (5), durch Erzeugen optischer Durchbrüche (8) im Material (5) mittels ins Material (5) fokussierter Laserstrahlung (3), wobei der Fokuspunkt (7) dreidimensional verstellt wird, um die Schnittfläche (9) durch Aneinanderreihung der optischen Durchbrüche (8) zu bilden, und wobei die Verstellung des Fokuspunktes (7) in einer ersten Raumrichtung (z) mit einer geringeren Maximalgeschwindigkeit erfolgen kann als in den übrigen zwei Raumrichtungen, **dadurch gekennzeichnet**, daß der Fokuspunkt (7) so geführt wird, daß er bezüglich der übrigen zwei Raumrichtungen (x, y) Höhenlinien (17) der Schnittfläche (9) folgt, die in Ebenen liegen, welche im wesentlichen senkrecht zur ersten Raumrichtung (z) sind.
2. Verfahren nach Anspruch 1, dadurch gekennzeichnet, daß die Höhenlinien elliptisch mit einer Elliptizität zwischen 1,0 und 1,2 sind.
3. Verfahren nach Anspruch 1 oder 2, dadurch gekennzeichnet, daß die Abstände der Höhenlinien (17) in der ersten Raumrichtung so gewählt werden, daß die mittleren Abstände zwischen benachbarten Höhenlinien (17) im wesentlichen, insbesondere innerhalb $\pm 10\%$, konstant sind.
4. Verfahren nach einem der obigen Ansprüche, dadurch gekennzeichnet, daß der Fokuspunkt (7) jeweils bis auf ein Reststück vollständig entlang der Höhenlinien (17) bewegt wird und im Reststück durch Verstellung des Fokuspunktes (7) in der ersten Raumrichtung (z) ein Übergang (18) zur nächsten Höhenlinie (17) erfolgt.
5. Verfahren nach einem der obigen Ansprüche, dadurch gekennzeichnet, daß bei höheren Krümmungsordnungen der Schnittfläche (9) die Höhenlinien (17) durch Schneiden einer um höhere Krümmungsordnungen bereinigten gekrümmten Schnittflächen (9) mit Ebenen senkrecht zur ersten Raumrichtung (z) erhalten werden.

6. Verfahren nach Anspruch 5, dadurch gekennzeichnet, daß die Verstellung in der ersten Raumrichtung (z) gemäß dem Einfluß der höheren Krümmungsordnungen verändert wird, während der Fokuspunkt (7) in den übrigen zwei Raumrichtungen (x, y) gemäß der Höhenlinien (17) verstellt wird, die der bereinigten Schnittfläche (9) ohne höhere Krümmungsordnungen zugeordnet sind.
7. Verfahren nach einem der obigen Ansprüche, dadurch gekennzeichnet, daß auf das Material ein Kontaktglas (21) aufgesetzt wird, das der Materialoberfläche eine bestimmte Form (22) gibt, und daß diese Form bei den Höhenlinien berücksichtigt wird.
8. Verfahren nach einem der obigen Ansprüche, dadurch gekennzeichnet, daß die Laserstrahlung (3) bezüglich der Erzeugung optischer Durchbrüche (8) abgeschaltet wird, solange die Höhenlinie (17) außerhalb eines Sollbereiches des Materials (5) verläuft, in dem die Schnittfläche (9) erzeugt werden soll, wobei insbesondere der Sollbereich (19) entlang der ersten Raumrichtung (z) gesehen kreisförmig ist.
9. Vorrichtung zum Ausbilden gekrümmter Schnittflächen (9) in einem transparenten Material, insbesondere in der Augenhornhaut (5), mit einer Laserstrahlungsquelle (S), die Laserstrahlung (3) in das Material (5) fokussiert und dort optische Durchbrüche (8) bewirkt, wobei eine Scaneinrichtung (6, 10), die den Fokuspunkt (7) dreidimensional verstellt, und eine Steuereinrichtung (2) vorgesehen sind, die die Scaneinrichtung (6, 10) ansteuert, um die Schnittfläche (9) durch Aneinanderreihen der optischen Durchbrüche (8) im Material (5) zu bilden, und wobei die Scaneinrichtung (6, 10) zur Verstellung des Fokuspunktes (7) in einer Raumrichtung (z) eine verstellbare Optik (6) aufweist, **dadurch gekennzeichnet**, daß die Steuereinrichtung (2) die Scaneinrichtung (6, 10) so ansteuert, daß der Fokuspunkt (7) in den übrigen zwei Raumrichtungen (x, y) auf Höhenlinien (17) der Schnittfläche (9) geführt ist, die in Ebenen liegen, welche im wesentlichen senkrecht zur ersten Raumrichtung (z) sind.
10. Vorrichtung nach Anspruch 9, dadurch gekennzeichnet, daß die verstellbare Optik eine Teleskopanordnung (6) aufweist.
11. Vorrichtung nach einem der obigen Vorrichtungsansprüche, dadurch gekennzeichnet, daß die Scaneinrichtung (6, 10) zwei Kippspiegel (11, 12) mit gekreuzten Drehachsen aufweist, um die Verstellung in den übrigen zwei Raumrichtungen (x, y) zu bewirken.
12. Vorrichtung nach Anspruch 9 oder 10, dadurch gekennzeichnet, daß die Höhenlinien elliptisch mit einer Elliptizität zwischen 1,0 und 1,2 sind.

13. Vorrichtung nach einem der obigen Vorrichtungsansprüche, dadurch gekennzeichnet, daß die Steuereinrichtung (2) die Abstände der Höhenlinien (17) in der ersten Raumrichtung so wählt, daß die mittleren Abstände zwischen benachbarten Höhenlinien (17) im wesentlichen, insbesondere innerhalb $\pm 10\%$, konstant sind.
14. Vorrichtung nach einem der obigen Vorrichtungsansprüche, dadurch gekennzeichnet, daß die Steuereinrichtung (2) den Fokuspunkt (7) jeweils bis auf ein Reststück vollständig entlang der Höhenlinien (17) bewegt und im Reststück durch Verstellung des Fokuspunktes (7) in der ersten Raumrichtung (z) einen Übergang (18) zur nächsten Höhenlinie (17) vornimmt.
15. Vorrichtung nach einem der obigen Vorrichtungsansprüche, dadurch gekennzeichnet, daß die Steuereinrichtung (2) bei höheren Krümmungsordnungen der Schnittfläche (9) die Höhenlinien (17) durch Schneiden einer um höhere Krümmungsordnungen bereinigten gekrümmten Schnittflächen (9) mit Ebenen senkrecht zur ersten Raumrichtung (z) bestimmt.
16. Vorrichtung nach Anspruch 15, dadurch gekennzeichnet, daß die Steuereinrichtung (2) die Verstellung in der ersten Raumrichtung (z) gemäß dem Einfluß der höheren Krümmungsordnungen verändert, während sie den Fokuspunkt (7) in den übrigen zwei Raumrichtungen (x, y) gemäß der Höhenlinien (17) verstellt, die der bereinigten Schnittfläche (9) ohne höhere Krümmungsordnungen zugeordnet sind.
17. Vorrichtung nach einem der obigen Vorrichtungsansprüche, dadurch gekennzeichnet, daß mittels eines Kontaktglases (21) der Oberfläche des Materials (5) eine bestimmte Form verliehen ist und daß die Steuereinrichtung (2) die bestimmte Form bei den Höhenlinien berücksichtigt.
18. Vorrichtung nach einem der obigen Vorrichtungsansprüche, dadurch gekennzeichnet, daß die Steuereinrichtung (2) die Laserstrahlung (3) bezüglich der Erzeugung optischer Durchbrüche (8) abschaltet, solange die Höhenlinie (17) außerhalb eines Sollbereiches des Materials (5) verläuft, in dem die Schnittfläche (9) erzeugt werden soll, wobei insbesondere der Sollbereich (19) entlang der ersten Raumrichtung (z) gesehen kreisförmig ist.
19. Vorrichtung nach einem der obigen Vorrichtungsansprüche, gekennzeichnet durch eine Einrichtung zum kurzzeitigen Abschalten oder Schwächen des Laserstrahls (3).

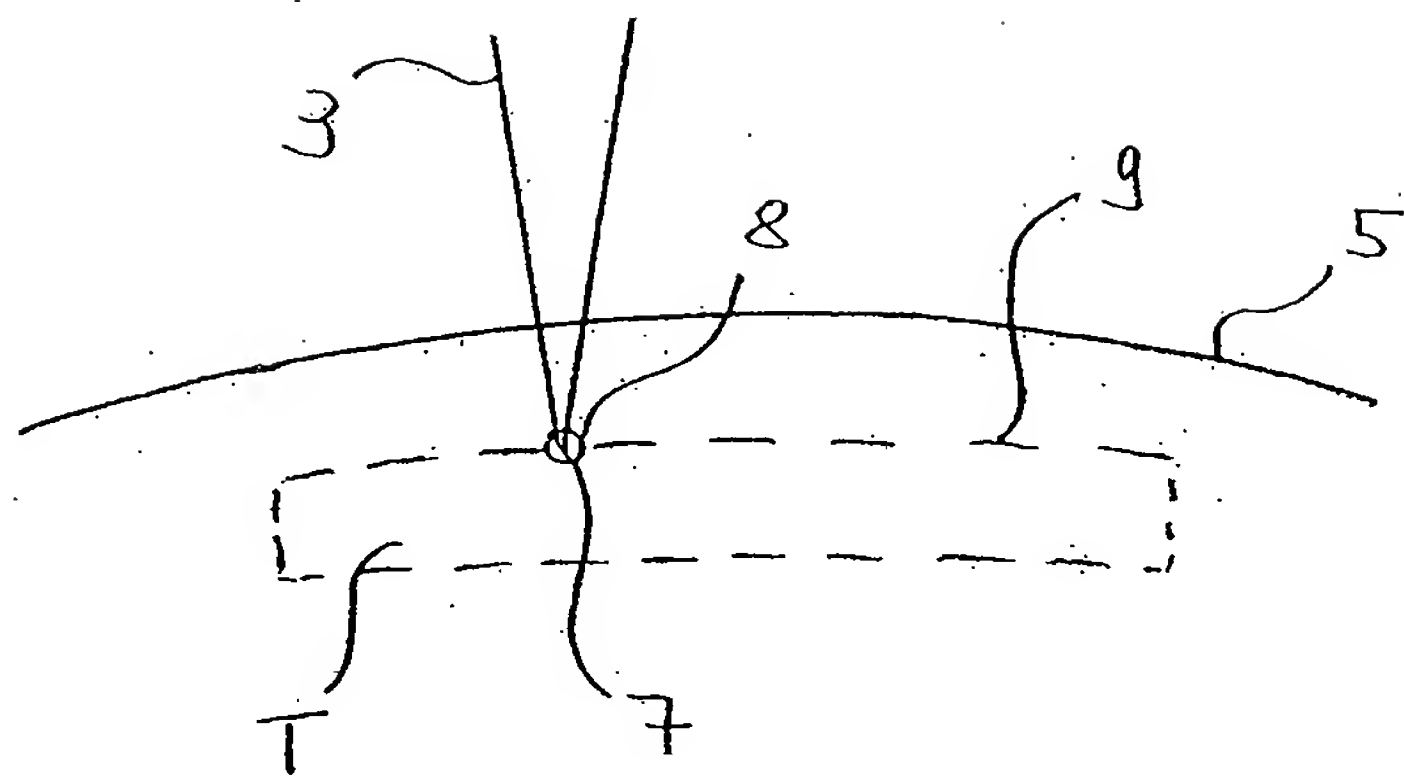


FIG.3

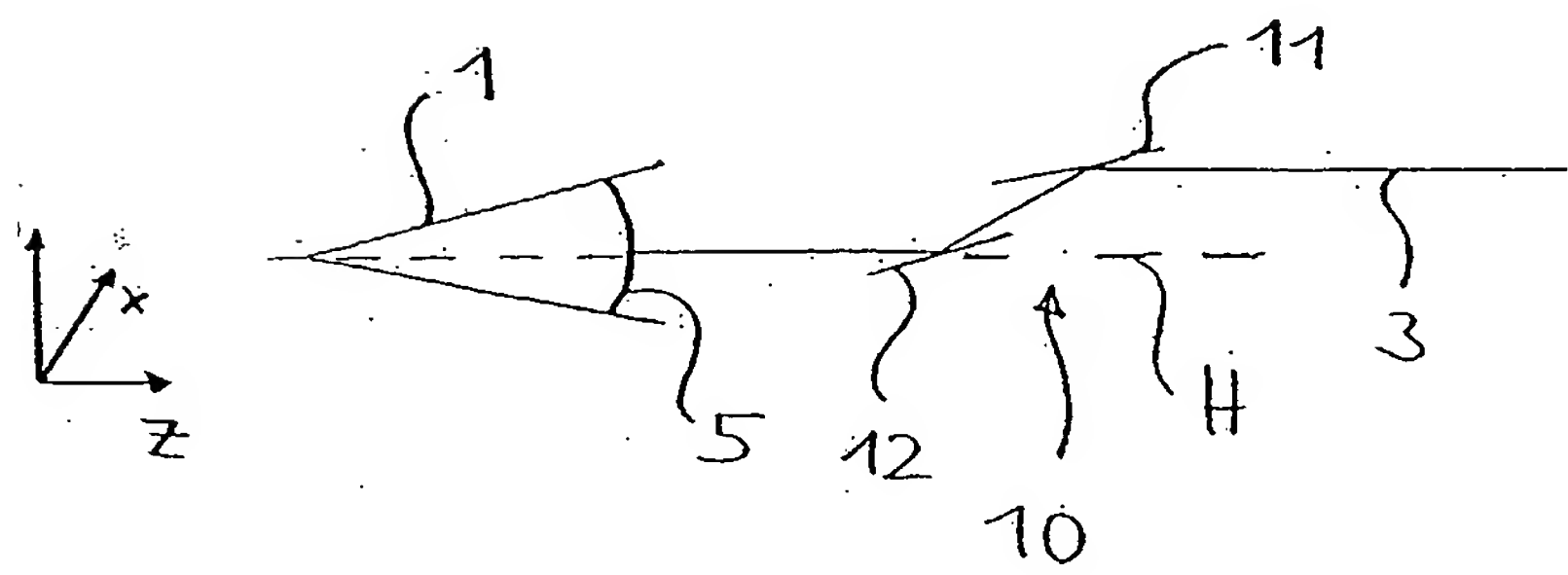


FIG.4

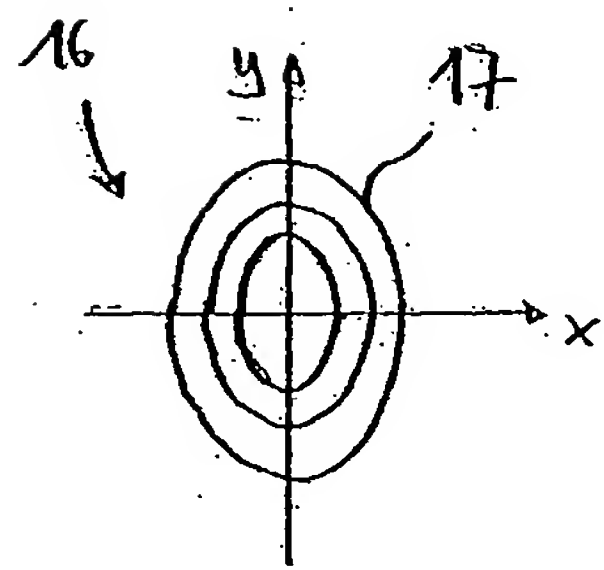


FIG.8a

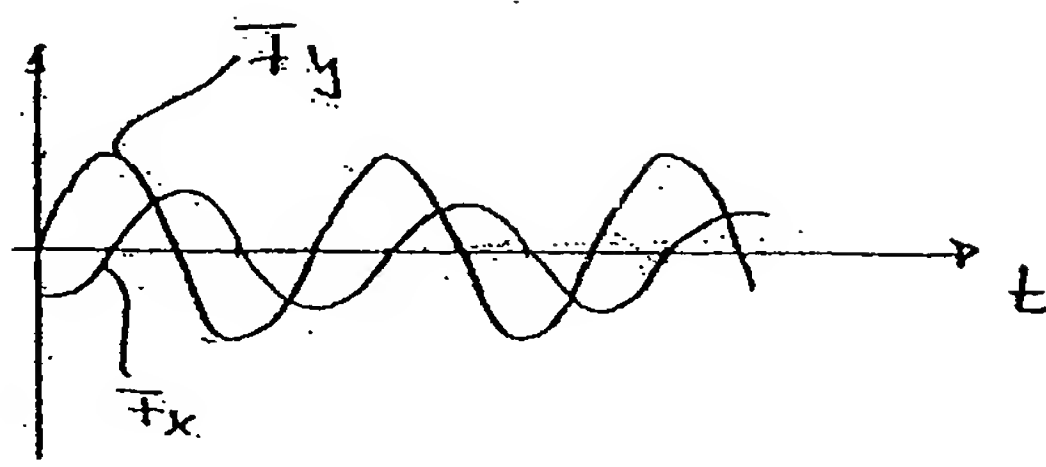


FIG.8b

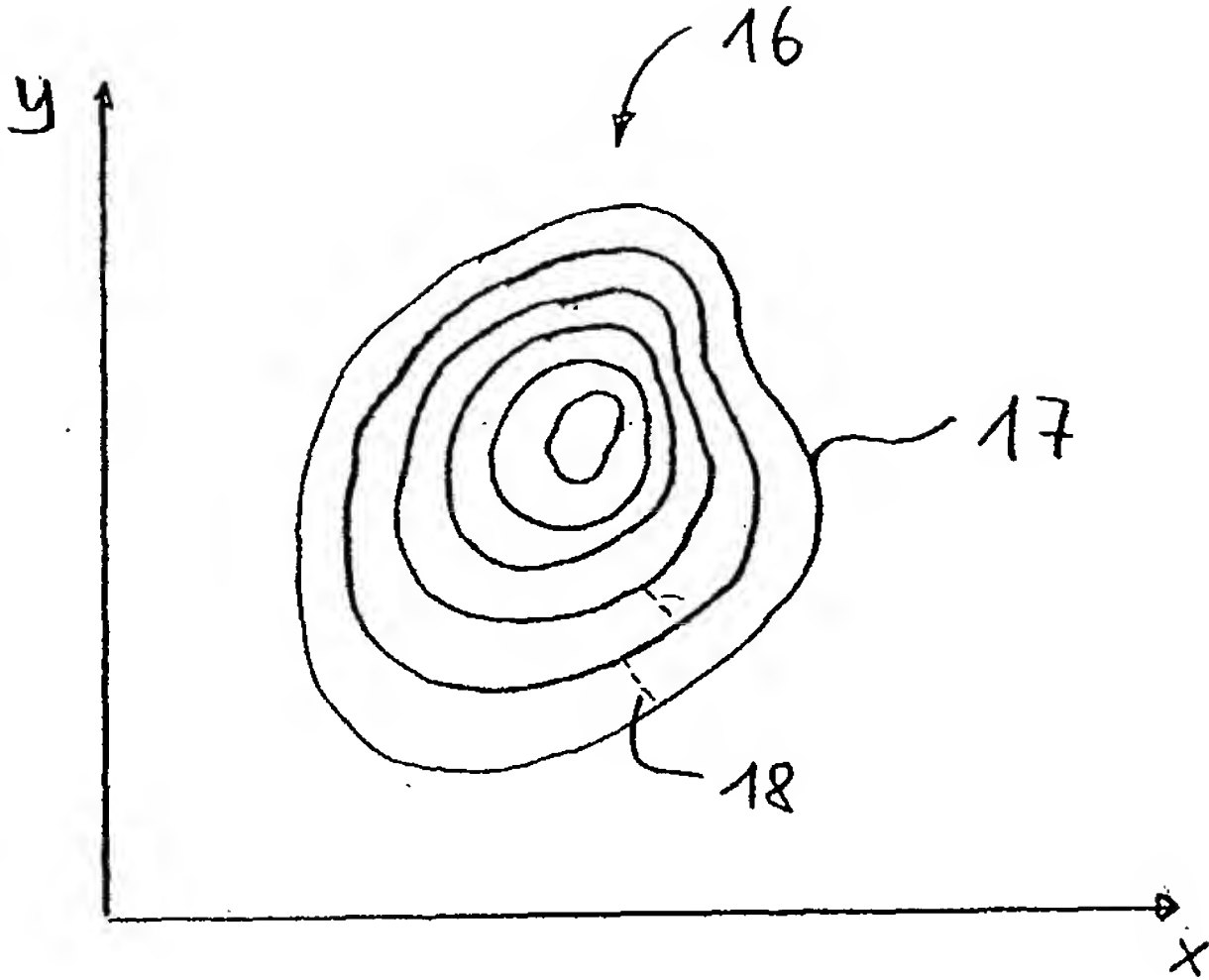


FIG. 5

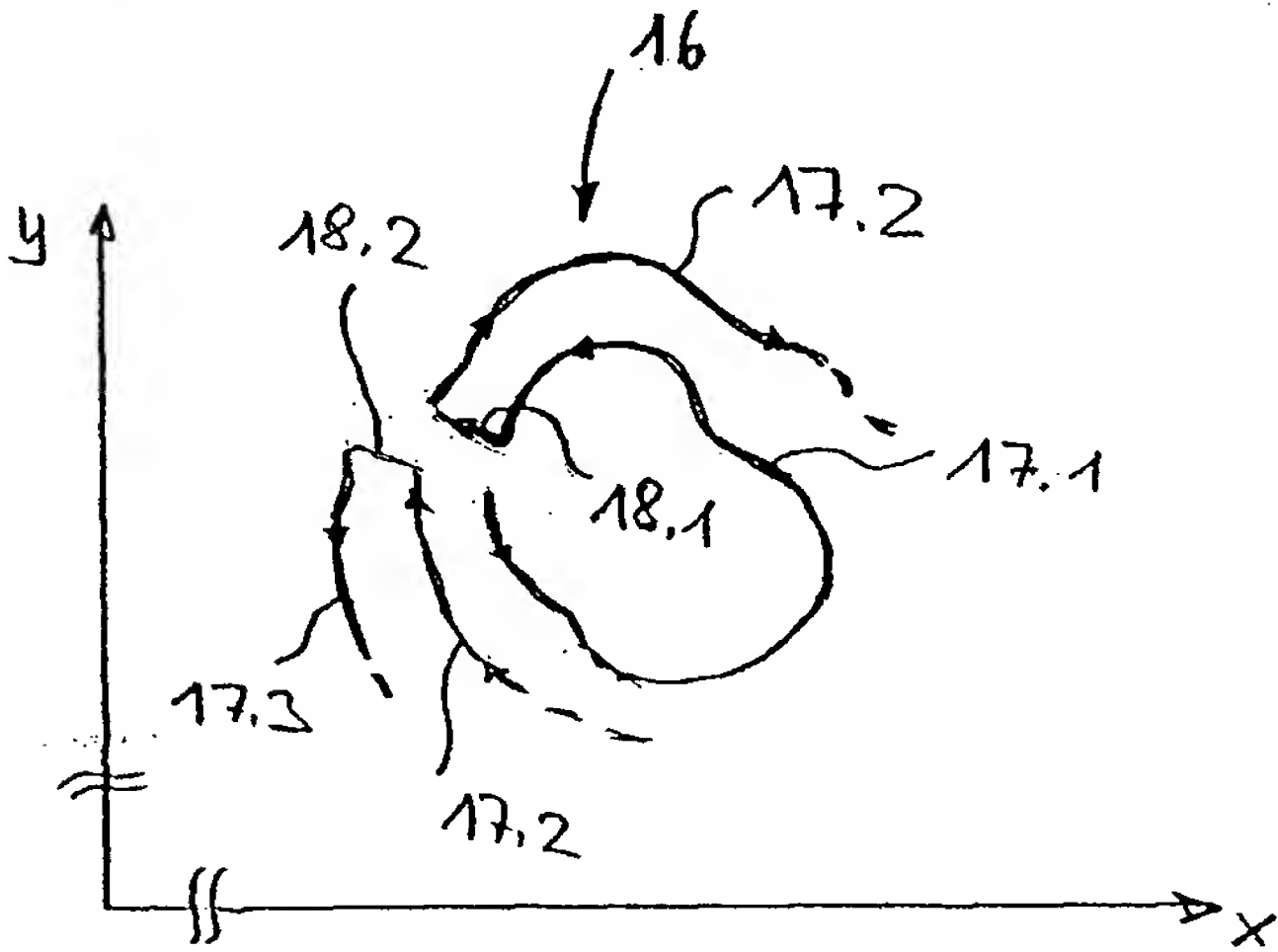


FIG. 6

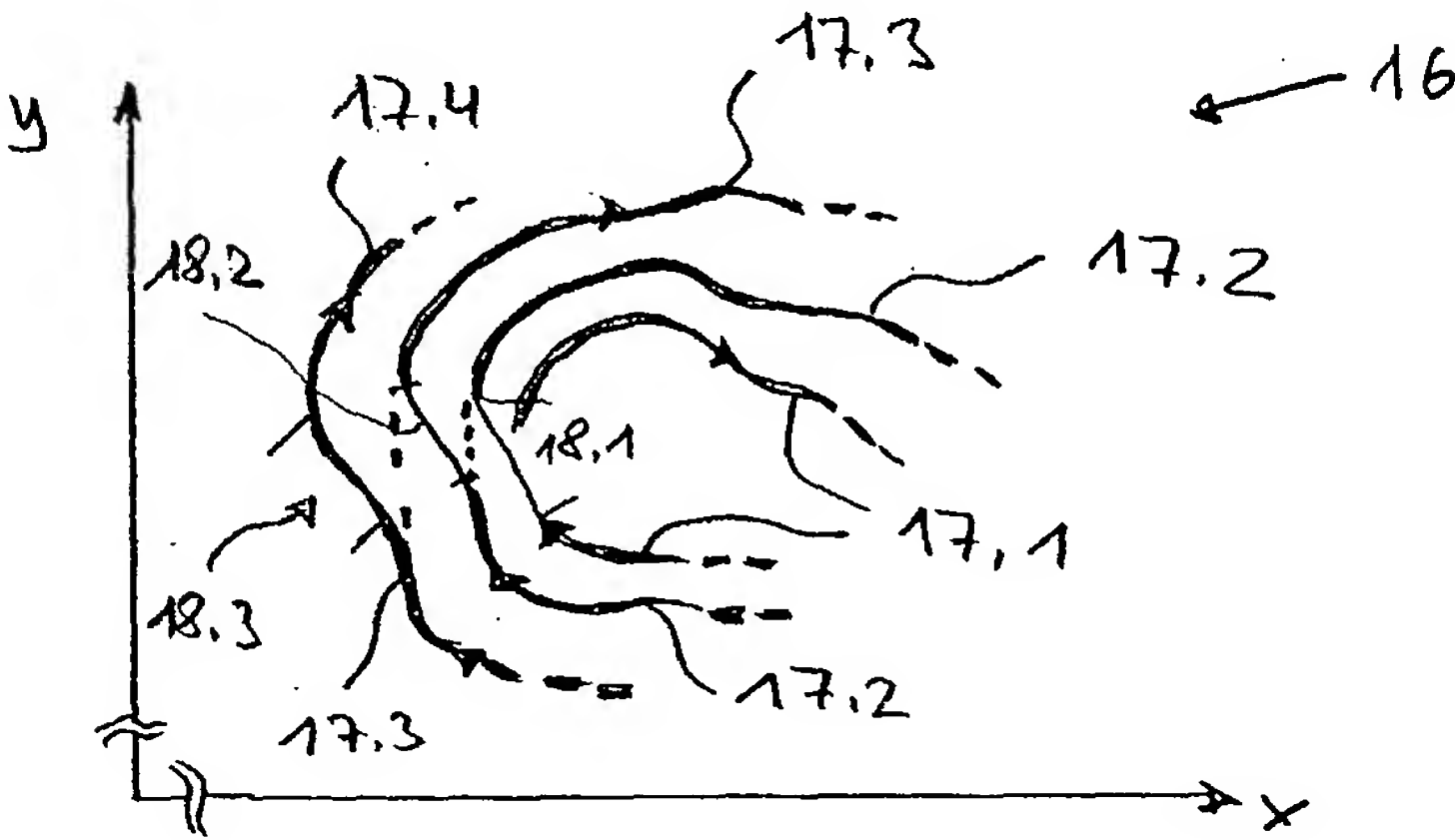


FIG. 7

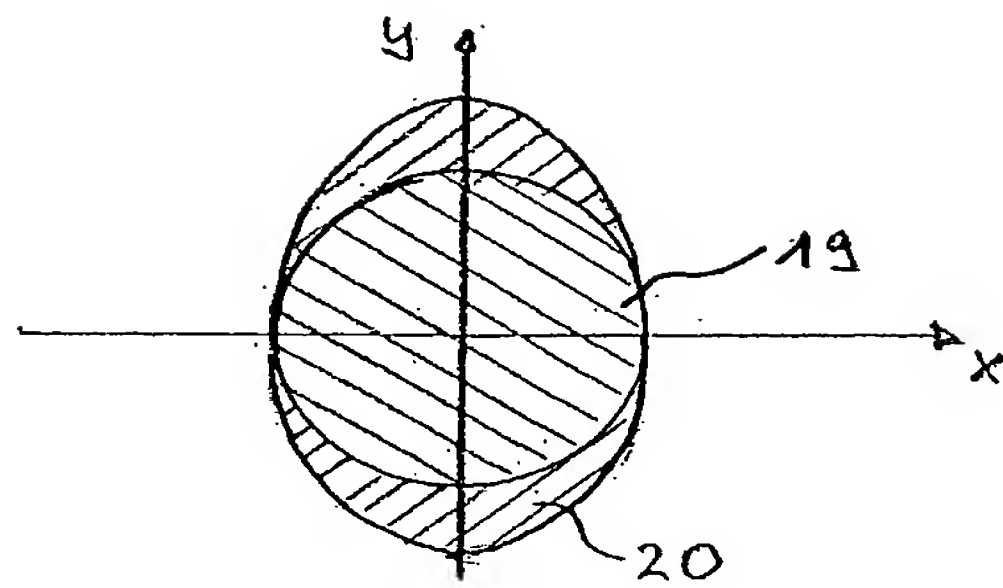


FIG. 9

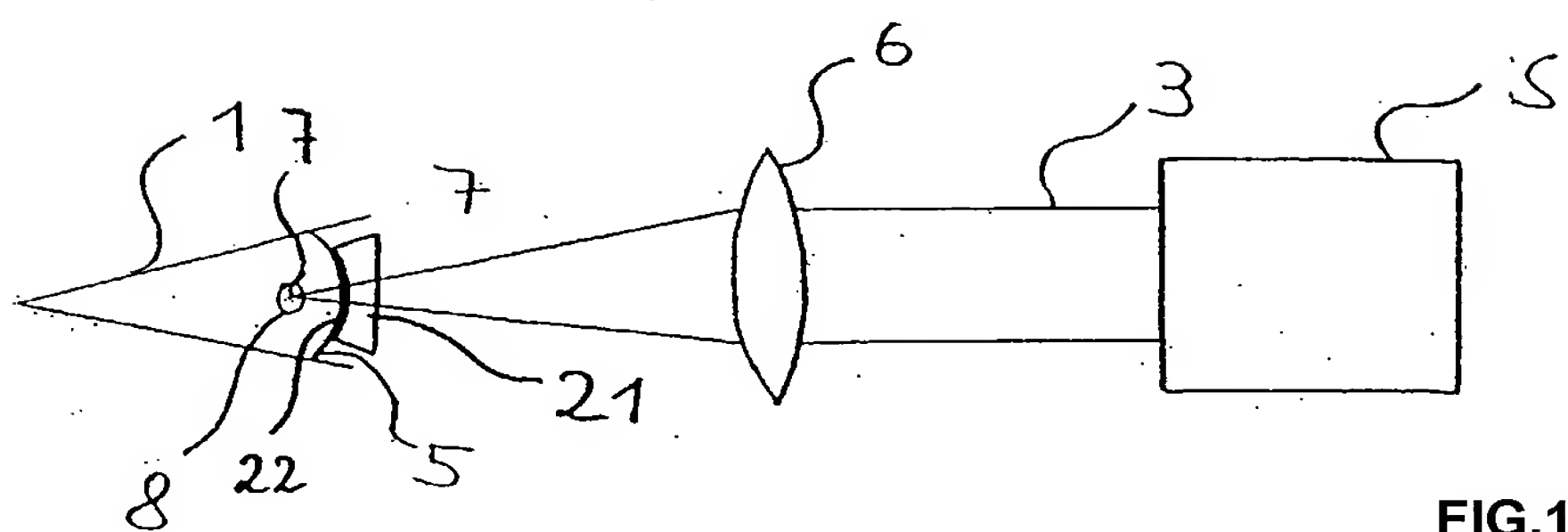


FIG. 10

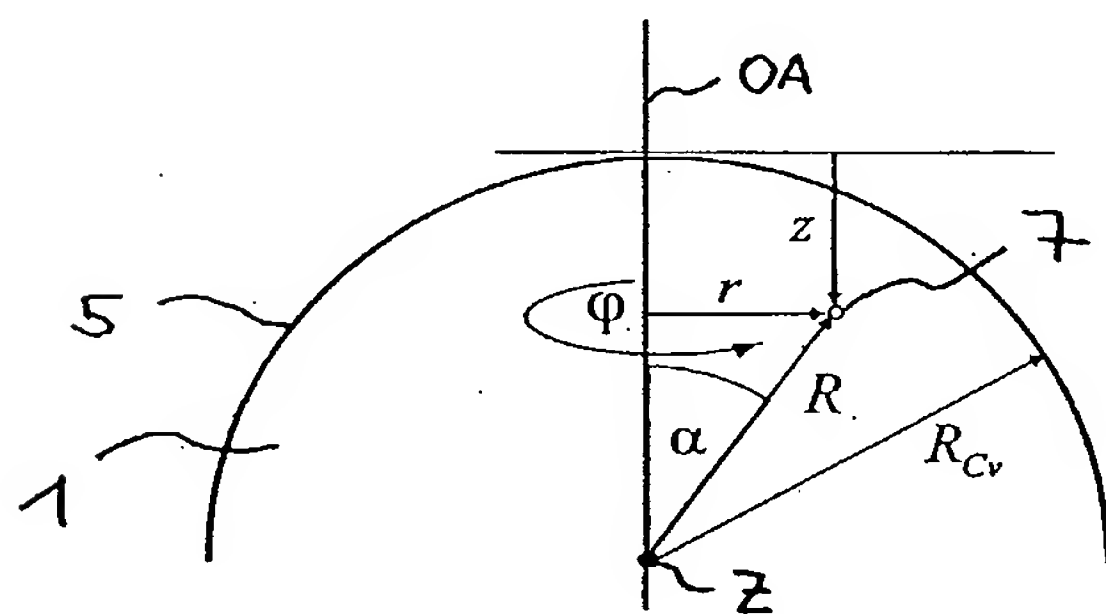


FIG. 11

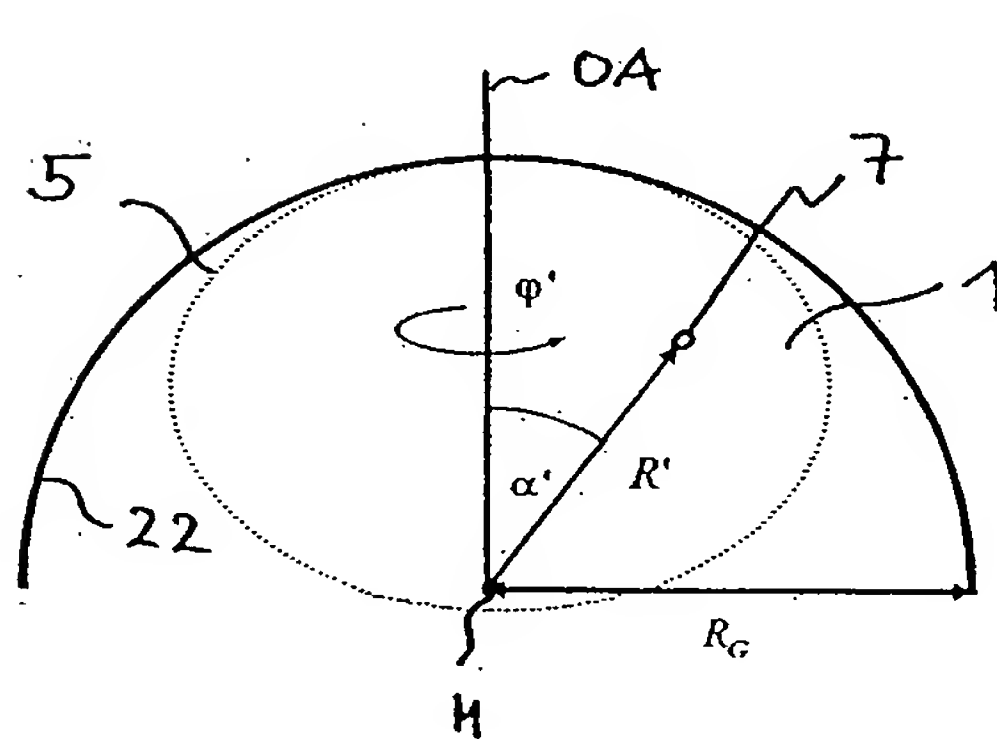


FIG. 12

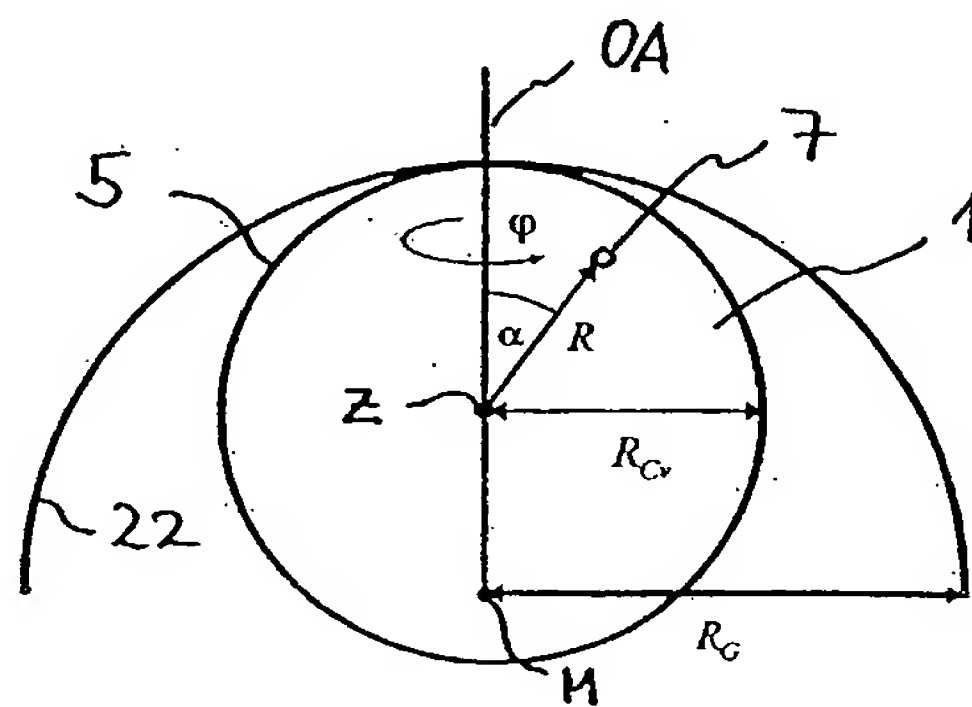


FIG. 13

INTERNATIONAL SEARCH REPORT

International Application No
PCT/EP2004/008279

A. CLASSIFICATION OF SUBJECT MATTER
IPC 7 A61F9/01

According to International Patent Classification (IPC) or to both national classification and IPC

B. FIELDS SEARCHED

Minimum documentation searched (classification system followed by classification symbols)
IPC 7 A61F

Documentation searched other than minimum documentation to the extent that such documents are included in the fields searched

Electronic data base consulted during the international search (name of data base and, where practical, search terms used)

EPO-Internal, WPI Data, PAJ

C. DOCUMENTS CONSIDERED TO BE RELEVANT

Category °	Citation of document, with indication, where appropriate, of the relevant passages	Relevant to claim No.
X	US 5 984 916 A (LAI SHUI T) 16 November 1999 (1999-11-16) cited in the application column 12, line 1 - column 13, line 38; figures 6,7,9b -----	9-19
X	US 6 110 166 A (JUHASZ TIBOR) 29 August 2000 (2000-08-29) cited in the application column 5, line 59 - line 67; figures 3,4,9 -----	9-16,18, 19
X	DE 101 24 358 C (WAVELIGHT LASER TECHNOLOGIE AG) 17 October 2002 (2002-10-17) paragraph '0023!; figure 1 ----- -/--	9-16,18, 19

☒ Further documents are listed in the continuation of box C.

☒ Patent family members are listed in annex.

° Special categories of cited documents :

- *A* document defining the general state of the art which is not considered to be of particular relevance
- *E* earlier document but published on or after the international filing date
- *L* document which may throw doubts on priority claim(s) or which is cited to establish the publication date of another citation or other special reason (as specified)
- *O* document referring to an oral disclosure, use, exhibition or other means
- *P* document published prior to the international filing date but later than the priority date claimed

- *T* later document published after the international filing date or priority date and not in conflict with the application but cited to understand the principle or theory underlying the invention
- *X* document of particular relevance; the claimed invention cannot be considered novel or cannot be considered to involve an inventive step when the document is taken alone
- *Y* document of particular relevance; the claimed invention cannot be considered to involve an inventive step when the document is combined with one or more other such documents, such combination being obvious to a person skilled in the art.
- *&* document member of the same patent family

Date of the actual completion of the international search

29 November 2004

Date of mailing of the international search report

06/12/2004

Name and mailing address of the ISA

European Patent Office, P.B. 5818 Patentlaan 2
NL - 2280 HV Rijswijk
Tel. (+31-70) 340-2040, Tx. 31 651 epo nl,
Fax: (+31-70) 340-3016

Authorized officer

Mayer-Martenson, E

INTERNATIONAL SEARCH REPORT

International Application No
PCT/EP2004/008279

C.(Continuation) DOCUMENTS CONSIDERED TO BE RELEVANT		
Category °	Citation of document, with indication, where appropriate, of the relevant passages	Relevant to claim No.
X	WO 94/09849 A (SWINGER CASIMIR A ; LAI SHUI T (US)) 11 May 1994 (1994-05-11) page 26, line 1 - page 27, line 12; figure 4 -----	9-19
X	US 5 993 438 A (BILLE JOSEF F ET AL) 30 November 1999 (1999-11-30) column 5, line 30, paragraph 23 - line 44; figure 1 column 6, line 52 - line 65; figure 3 -----	9-16,18,19
X	US 6 497 701 B2 (CAUDLE GEORGE ET AL) 24 December 2002 (2002-12-24) column 10, line 49 - line 65; figure 14 -----	9-16,18,19
X,P	DE 103 23 422 A (CARL ZEISS MEDITEC AG ; ZEISS CARL JENA GMBH (DE)) 15 April 2004 (2004-04-15) paragraph '0112!; figure 9 -----	9-16,18,19

INTERNATIONAL SEARCH REPORT

International application No.

EP2004/8279

Box I Observations where certain claims were found unsearchable (Continuation of item 1 of first sheet)

This international search report has not been established in respect of certain claims under Article 17(2)(a) for the following reasons:

1. ☒ Claims Nos.: 1-8
because they relate to subject matter not required to be searched by this Authority, namely:

PCT Rule 39.1(iv) – method for treatment of the human or animal body by surgery.

2. ☐ Claims Nos.:
because they relate to parts of the international application that do not comply with the prescribed requirements to such an extent that no meaningful international search can be carried out, specifically:

3. ☐ Claims Nos.:
because they are dependent claims and are not drafted in accordance with the second and third sentences of Rule 6.4(a).

Box II Observations where unity of invention is lacking (Continuation of item 2 of first sheet)

This International Searching Authority found multiple inventions in this international application, as follows:

1. ☐ As all required additional search fees were timely paid by the applicant, this international search report covers all searchable claims.
2. ☐ As all searchable claims could be searched without effort justifying an additional fee, this Authority did not invite payment of any additional fee.
3. ☐ As only some of the required additional search fees were timely paid by the applicant, this international search report covers only those claims for which fees were paid, specifically claims Nos.:
4. ☐ No required additional search fees were timely paid by the applicant. Consequently, this international search report is restricted to the invention first mentioned in the claims; it is covered by claims Nos.:

Remark on Protest

- ☐ The additional search fees were accompanied by the applicant's protest.
☐ No protest accompanied the payment of additional search fees.

INTERNATIONAL SEARCH REPORT

International Application No

PCT/EP2004/008279

Patent document cited in search report		Publication date	Patent family member(s)	Publication date
US 5984916	A	16-11-1999	AT 253880 T	15-11-2003
			AU 6709894 A	21-11-1994
			DE 69433322 D1	18-12-2003
			DE 69433322 T2	16-09-2004
			EP 1402860 A2	31-03-2004
			EP 0700310 A1	13-03-1996
			WO 9425107 A1	10-11-1994
			US 6325792 B1	04-12-2001
US 6110166	A	29-08-2000	CA 2266044 A1	01-10-2000
			DE 1009484 T1	08-02-2001
			EP 1009484 A1	21-06-2000
			JP 2002500522 T	08-01-2002
			WO 9814244 A1	09-04-1998
			WO 9629115 A1	26-09-1996
DE 10124358	C	17-10-2002	DE 10124358 C1	17-10-2002
			EP 1260202 A1	27-11-2002
			US 2002173779 A1	21-11-2002
WO 9409849	A	11-05-1994	AU 5540594 A	24-05-1994
			WO 9409849 A1	11-05-1994
			US 6325792 B1	04-12-2001
US 5993438	A	30-11-1999	CA 2226949 A1	16-08-1999
			AU 8089298 A	04-03-1999
			CA 2242513 A1	21-02-1999
			EP 0903133 A2	24-03-1999
			JP 11192253 A	21-07-1999
			EP 0850089 A1	01-07-1998
			JP 11511051 T	28-09-1999
			WO 9706856 A1	27-02-1997
			AU 7761694 A	18-05-1995
			CA 2127029 A1	13-05-1995
			EP 0657151 A1	14-06-1995
			JP 7184951 A	25-07-1995
US 6497701	B2	17-10-2002	US 2002151878 A1	17-10-2002
			AU 3612300 A	17-11-2000
			CA 2368228 A1	09-11-2000
			EP 1180981 A1	27-02-2002
			JP 2002542877 T	17-12-2002
			WO 0066022 A1	09-11-2000
DE 10323422	A	15-04-2004	DE 10323422 A1	15-04-2004
			WO 2004026198 A2	01-04-2004

INTERNATIONALER RECHERCHENBERICHT

Internationales Aktenzeichen
PCT/EP2004/008279

A. KLASSIFIZIERUNG DES ANMELDUNGSGEGENSTANDES
IPK 7 A61F9/01

Nach der Internationalen Patentklassifikation (IPK) oder nach der nationalen Klassifikation und der IPK

B. RECHERCHIERTE GEBIETE

Recherchierter Mindestprüfstoff (Klassifikationssystem und Klassifikationssymbole)
IPK 7 A61F

Recherchierte aber nicht zum Mindestprüfstoff gehörende Veröffentlichungen, soweit diese unter die recherchierten Gebiete fallen

Während der internationalen Recherche konsultierte elektronische Datenbank (Name der Datenbank und evtl. verwendete Suchbegriffe)

EPO-Internal, WPI Data, PAJ

C. ALS WESENTLICH ANGESEHENE UNTERLAGEN

Kategorie ^o	Bezeichnung der Veröffentlichung, soweit erforderlich unter Angabe der in Betracht kommenden Teile	Betr. Anspruch Nr.
X	US 5 984 916 A (LAI SHUI T) 16. November 1999 (1999-11-16) in der Anmeldung erwähnt Spalte 12, Zeile 1 - Spalte 13, Zeile 38; Abbildungen 6,7,9b -----	9-19
X	US 6 110 166 A (JUHASZ TIBOR) 29. August 2000 (2000-08-29) in der Anmeldung erwähnt Spalte 5, Zeile 59 - Zeile 67; Abbildungen 3,4,9 -----	9-16,18, 19
X	DE 101 24 358 C (WAVELIGHT LASER TECHNOLOGIE AG) 17. Oktober 2002 (2002-10-17) Absatz '0023!; Abbildung 1 -----	9-16,18, 19
-/--		

☒ Weitere Veröffentlichungen sind der Fortsetzung von Feld C zu entnehmen

☒ Siehe Anhang Patentfamilie

^o Besondere Kategorien von angegebenen Veröffentlichungen :

A Veröffentlichung, die den allgemeinen Stand der Technik definiert, aber nicht als besonders bedeutsam anzusehen ist

E älteres Dokument, das jedoch erst am oder nach dem internationalen Anmeldedatum veröffentlicht worden ist

L Veröffentlichung, die geeignet ist, einen Prioritätsanspruch zweifelhaft erscheinen zu lassen, oder durch die das Veröffentlichungsdatum einer anderen im Recherchenbericht genannten Veröffentlichung belegt werden soll oder die aus einem anderen besonderen Grund angegeben ist (wie ausgeführt)

O Veröffentlichung, die sich auf eine mündliche Offenbarung, eine Benutzung, eine Ausstellung oder andere Maßnahmen bezieht

P Veröffentlichung, die vor dem internationalen Anmeldedatum, aber nach dem beanspruchten Prioritätsdatum veröffentlicht worden ist

T Spätere Veröffentlichung, die nach dem internationalen Anmeldedatum oder dem Prioritätsdatum veröffentlicht worden ist und mit der Anmeldung nicht kollidiert, sondern nur zum Verständnis des der Erfindung zugrundeliegenden Prinzips oder der ihr zugrundeliegenden Theorie angegeben ist

X Veröffentlichung von besonderer Bedeutung; die beanspruchte Erfindung kann allein aufgrund dieser Veröffentlichung nicht als neu oder auf erfinderischer Tätigkeit beruhend betrachtet werden

Y Veröffentlichung von besonderer Bedeutung; die beanspruchte Erfindung kann nicht als auf erfinderischer Tätigkeit beruhend betrachtet werden, wenn die Veröffentlichung mit einer oder mehreren anderen Veröffentlichungen dieser Kategorie in Verbindung gebracht wird und diese Verbindung für einen Fachmann naheliegend ist

G Veröffentlichung, die Mitglied derselben Patentfamilie ist

Datum des Abschlusses der internationalen Recherche

29. November 2004

Absendedatum des internationalen Recherchenberichts

06/12/2004

Name und Postanschrift der Internationalen Recherchenbehörde
Europäisches Patentamt, P.B. 5818 Patentlaan 2
NL - 2280 HV Rijswijk
Tel. (+31-70) 340-2040, Tx. 31 651 epo nl,
Fax: (+31-70) 340-3016

Bevollmächtigter Bediensteter

Mayer-Martenson, E

INTERNATIONALER RECHERCHENBERICHT

Internationales Aktenzeichen

PCT/EP2004/008279

C.(Fortsetzung) ALS WESENTLICH ANGESEHENE UNTERLAGEN

Kategorie°	Bezeichnung der Veröffentlichung, soweit erforderlich unter Angabe der in Betracht kommenden Teile	Betr. Anspruch Nr.
X	WO 94/09849 A (SWINGER CASIMIR A ; LAI SHUI T (US)) 11. Mai 1994 (1994-05-11) Seite 26, Zeile 1 - Seite 27, Zeile 12; Abbildung 4 -----	9-19
X	US 5 993 438 A (BILLE JOSEF F ET AL) 30. November 1999 (1999-11-30) Spalte 5, Zeile 30, Absatz 23 - Zeile 44; Abbildung 1 Spalte 6, Zeile 52 - Zeile 65; Abbildung 3 -----	9-16,18, 19
X	US 6 497 701 B2 (CAUDLE GEORGE ET AL) 24. Dezember 2002 (2002-12-24) Spalte 10, Zeile 49 - Zeile 65; Abbildung 14 -----	9-16,18, 19
X,P	DE 103 23 422 A (CARL ZEISS MEDITEC AG ; ZEISS CARL JENA GMBH (DE)) 15. April 2004 (2004-04-15) Absatz '0112!; Abbildung 9 -----	9-16,18, 19

Feld II Bemerkungen zu den Ansprüchen, die sich als nicht recherchierbar erwiesen haben (Fortsetzung von Punkt 2 auf Blatt 1)

Gemäß Artikel 17(2)a) wurde aus folgenden Gründen für bestimmte Ansprüche kein Recherchenbericht erstellt:

1. ☒ Ansprüche Nr. 1-8
weil sie sich auf Gegenstände beziehen, zu deren Recherche die Behörde nicht verpflichtet ist, nämlich
Regel 39.1(iv) PCT – Verfahren zur chirurgischen Behandlung des menschlichen oder tierischen Körpers
2. ☐ Ansprüche Nr.
weil sie sich auf Teile der internationalen Anmeldung beziehen, die den vorgeschriebenen Anforderungen so wenig entsprechen, daß eine sinnvolle internationale Recherche nicht durchgeführt werden kann, nämlich
3. ☐ Ansprüche Nr.
weil es sich dabei um abhängige Ansprüche handelt, die nicht entsprechend Satz 2 und 3 der Regel 6.4 a) abgefaßt sind.

Feld III Bemerkungen bei mangelnder Einheitlichkeit der Erfindung (Fortsetzung von Punkt 3 auf Blatt 1)

Die internationale Recherchenbehörde hat festgestellt, daß diese internationale Anmeldung mehrere Erfindungen enthält:

1. ☐ Da der Anmelder alle erforderlichen zusätzlichen Recherchegebühren rechtzeitig entrichtet hat, erstreckt sich dieser internationale Recherchenbericht auf alle recherchierbaren Ansprüche.
2. ☐ Da für alle recherchierbaren Ansprüche die Recherche ohne einen Arbeitsaufwand durchgeführt werden konnte, der eine zusätzliche Recherchegebühr gerechtfertigt hätte, hat die Behörde nicht zur Zahlung einer solchen Gebühr aufgefordert.
3. ☐ Da der Anmelder nur einige der erforderlichen zusätzlichen Recherchegebühren rechtzeitig entrichtet hat, erstreckt sich dieser internationale Recherchenbericht nur auf die Ansprüche, für die Gebühren entrichtet worden sind, nämlich auf die Ansprüche Nr.
4. ☐ Der Anmelder hat die erforderlichen zusätzlichen Recherchegebühren nicht rechtzeitig entrichtet. Der internationale Recherchenbericht beschränkt sich daher auf die in den Ansprüchen zuerst erwähnte Erfindung; diese ist in folgenden Ansprüchen erfaßt:

Bemerkungen hinsichtlich eines Widerspruchs

- ☐ Die zusätzlichen Gebühren wurden vom Anmelder unter Widerspruch gezahlt.
- ☐ Die Zahlung zusätzlicher Recherchegebühren erfolgte ohne Widerspruch.

INTERNATIONALER RECHERCHENBERICHT

Internationales Aktenzeichen

PCT/EP2004/008279

Im Recherchenbericht angeführtes Patentdokument		Datum der Veröffentlichung	Mitglied(er) der Patentfamilie	Datum der Veröffentlichung
US 5984916	A	16-11-1999	AT 253880 T	15-11-2003
			AU 6709894 A	21-11-1994
			DE 69433322 D1	18-12-2003
			DE 69433322 T2	16-09-2004
			EP 1402860 A2	31-03-2004
			EP 0700310 A1	13-03-1996
			WO 9425107 A1	10-11-1994
			US 6325792 B1	04-12-2001
US 6110166	A	29-08-2000	CA 2266044 A1	01-10-2000
			DE 1009484 T1	08-02-2001
			EP 1009484 A1	21-06-2000
			JP 2002500522 T	08-01-2002
			WO 9814244 A1	09-04-1998
			WO 9629115 A1	26-09-1996
DE 10124358	C	17-10-2002	DE 10124358 C1	17-10-2002
			EP 1260202 A1	27-11-2002
			US 2002173779 A1	21-11-2002
WO 9409849	A	11-05-1994	AU 5540594 A	24-05-1994
			WO 9409849 A1	11-05-1994
			US 6325792 B1	04-12-2001
US 5993438	A	30-11-1999	CA 2226949 A1	16-08-1999
			AU 8089298 A	04-03-1999
			CA 2242513 A1	21-02-1999
			EP 0903133 A2	24-03-1999
			JP 11192253 A	21-07-1999
			EP 0850089 A1	01-07-1998
			JP 11511051 T	28-09-1999
			WO 9706856 A1	27-02-1997
			AU 7761694 A	18-05-1995
			CA 2127029 A1	13-05-1995
			EP 0657151 A1	14-06-1995
			JP 7184951 A	25-07-1995
US 6497701	B2	17-10-2002	US 2002151878 A1	17-10-2002
			AU 3612300 A	17-11-2000
			CA 2368228 A1	09-11-2000
			EP 1180981 A1	27-02-2002
			JP 2002542877 T	17-12-2002
			WO 0066022 A1	09-11-2000
DE 10323422	A	15-04-2004	DE 10323422 A1	15-04-2004
			WO 2004026198 A2	01-04-2004